SIEMENS

HALBLEITER-BAUELEMENTE

Schaltbeispiele

Ausgabe 1. April 1958

SIEMENS & HALSKE AKTIENGESELLSCHAFT
WERNERWERK FOR BAUELEMENTE

Einleitung

Die im folgenden zusammengefaßten Schaltunterlagen stellen eine Auslese aus der großen Zahl vorteilhafter Anwendungen von Halbleiterbauelementen, insbesondere Transistoren, dar. Damit sollen in erster Linie allgemeine Anregungen vermittelt und Schaltbeispiele gegeben werden, die natürlich dem besonderen Fall der Anwendung und den jeweiligen Anforderungen noch angepaßt werden können.

Inhaltsverzeichnis

Die vorliegende Schrift gliedert sich in zwei Abschnitte, deren erster Erläuterungen zu den im zweiten Teil dargestellten Schaltbeispielen gibt. In den Textseiten ist jeweils auf die Numerierung der besprochenen Schaltung hingewiesen.

	Seite
Allgemeine Hinweise	1
 Niederfrequenz-Verstärker (Schaltbeispiele Nr. 1 bis 10) 	1 - 6
II. Gleichspannungswandler (Schaltbeispiele Nr. 11 bis 21)	7 - 11
III. Sinusoszillatoren (Schaltbeispiele Nr. 22 bis 25)	12
IV. Multivibratoren (Schaltbeispiele Nr. 26 bis 30)	13 - 14
V. Steuer- und Regelschaltungen, Meßverstärker (Schaltbeispiele Nr. 31 bis 36)	15
Schaltbeispiele	Nummer
I. Niederfrequenz-Verstärker	
NF-Transistor-Verstärker für 1 W mit Transistoren TF 65, TF 77	1.
NF-Transistor-Verstärker Ausgangsleistung 12 W	2.
Transistor-Verstärker für 12 W mit Photo-Diode TP 50 zur Tonfilmabtastung Frequenzbereich 50 Hz - 15 kHz	3,
NF-Transistor-Verstärker mit gleitendem Arbeitspunkt der Endstufe Ausgangsleistung 500 mW	4.
NF-Transistor-Verstärker mit gleitendem Arbeitspunkt der Treiber- und Endstufe; Ausgangsleistung 3 W	5.
Schallplatten-Vorverstärker für elektrodynamischen Tonarm entzerrt nach CCIR-Norm, 30 Hz - 20 kHz	6.
Verstärker hoher Klanggüte 20 W; 30 Hz - 20 kHz; k - 1 % (bis 15 W) Batteriespannung: 24 V	7.
Hörhilfe-Verstärker mit 3 Transistoren TF 65 Batteriespannung 2,8 V	8.

		Nummer
	Gegentaktendstufe mit 2 x TF 80/60 und ECF 83 für gemischt bestückte Geräte	9.
	Tonband-Diktier-Gerät Frequenzbereich 0,3 - 2,5/4,5 kHz Bandgeschwindigkeit 2,4 oder 4,75 cm/s	10.
и.	Gleichspannungswandler	
	Gleichspannungswandler für 1000 V Eintaktschaltung mit Transistor TF 77/30 Batteriespannung 3 V	11.
	Gleichspannungswandler für 1 W Eintaktschaltung mit Transistor TF 77/30 Batteriespannung 6 V	12.
	Gleichspannungswandler für 5 W mit Siebung Eintaktschaltung mit Transistor TF 80/30	13.
	Gleichspannungswandler für 2000 V Gegentaktschaltung mit 2 Transistoren TF 65 Batteriespannung 3 V; Ausgangsleistung ca. 50 mW	14.
	Gleichspannungswandler für 2 W Gegentaktschaltung mit 2 Transistoren TF 77 Batteriespannung 6 V; Ausgangsspannung 60 V	15.
	Gleichspannungswandler für 3 W Gegentaktschaltung mit 2 x TF 77/30 Batteriespannung 7/14 V, Schwingfrequenz f≈ 17 kHz	16.
	Gleichspannungswandler für 10 W Gegentaktschaltung mit 2 Transistoren TF 80	17.
	Gleichspannungswandler für 20 W Gegentaktschaltung mit 2 Transistoren TF 80/30 Batteriespannung 12 V; Ausgangsspannung 250 V	18.
	Gleichspannungswandler für 20 W Chassistemperatur - 40 bis + 60°C Batteriespannung 24 V	19.
	Geiger-Müller-Indikator, Batteriespannung 3 V	20.
	Betrieb einer Blitzlichtröhre Gegentaktschaltung mit 2 Transistoren	21.
III.	Sinusoszillatoren	
	Stabilisierter Sinus-Oszillator kHz für Steuerzwecke mit Transistoren TF 65 und Silizium-Zener-Dioden SZ	22.
	Sinus-Oszillator für 50 kHz zur HF-Magnetisierung von Magnettonköpfen Gegentaktschaltung mit 2 Transistoren TF 77	23.
	400 Hz Sinusgenerator mit kleinem Innenwiderstand	24.

		Nummer
	10 W-Drehstrom-Generator mit 2 Transistoren TF 80/60 3~γΔ14/24V, 400 Hz	25.
IV.	Multivibratoren	
	Monostabile Kippschaltung mit 2 Transistoren TF 65	26.
	Bistabile Kippschaltung mit 2 Transistoren TF 65	27.
	Astabile Kippschaltung mit 2 Transistoren TF 65	28.
	Astabile Kippschaltung für große Flankensteilheit mit 3 Transistoren TF 65	29,
	Blinklichtgerät Betrieb mit astabiler Kippschaltung	30.
v.	Steuer- und Regelschaltungen, Meßverstärker	
	Photoelektrischer Schaltverstärker mit Photo-Diode TP 50 Photostrom bewirkt Anziehen eines Relais	31.
	Photoelektrischer Schaltverstärker mit Photodiode TP 50 Photostrom bewirkt Abfall eines Relais	32.
	6 W Schaltverstärker mit Transistoren und Photo-Diode TP 50 Beispiel: Steuerung einer Magnetkupplung	33.
	Schaltverzögerung mit Transistoren hochkonstante Verzögerung, regelbar von 10 - 400 s Batteriespannung 12 - 15 V	34.
	Temperaturregler mit Thernewid und Transistoren Regelbereich + 20° 100°C (ΔΤ±1°C)	35.
	Phasenmeßgerät mit Transistoren Batteriespannung 12 W	36.
VI.	Dioden-Anwendungen	
	Mischung zweier HF-Schwingungen mit Richtleiter- Paar GD 1P für NF-Pegelsender; Klirrfaktor <1 %	37.
	NF-Aussteuerungsanzeige mit Germanium-Richtleiter RL 31 Beispiel: Tonbandgerät	38.
	Ratio-Detektorschaltung mit Richtleiterpaar RL 232	39.

Typenübersicht des Transistor-Lieferprogrammes

3. Umschlagseite

Geschäftsstellen - Verzeichnis

4. Umschlagseite Allgemeine Hinweise für den Einsatz von Transistoren als Erläuterung zu den nachfolgenden Schaltbeispielen.

I. Niederfrequenz-Verstärker

Die Anwendung des Transistors in der Verstärkertechnik hat deshalb einen bedeutenden Umfang angenommen, weil sie die Möglichkeit gibt, niedrige Betriebsspannungen anzuwenden und dabei in den Leistungssendstufen trotzdem hohe Wirkungsgrade zu erreichen.

Darüber hinaus bietet auch der Betrieb der Vorverstärkerstufen mit Transistoren bei kleinen Betriebsspannungen und -strömen weitere Vorteile in Bezug auf Qualität und Betriebssicherheit.

Die Wahl der Transistoren für eine bestimmte Anwendung wird im wesentlichen durch die Grenzwerte der einzelnen Typen, wie Verlustleistung, Kollektorspitzenspannung und Kollektorspitzenstrom bestimmt.

Die Anlage und Bemessung von Transistorverstärkern zeigt gegenüber den geläufigen Röhrenschaltungen einige Besonderheiten, welche durch die Eigenschaften des Transistors begründet sind.

Bei der Wahl des Arbeitspunktes einer Verstärkerstufe mit Hilfe des Kennlinienfeldes bei der Betriebsspannung und dem günstigsten Arbeitswiderstand ist zu beachten, daß der Transistor in den Vorstufen wie in den Endstufen als Leistungsverstärker arbeitet. Wie aus den Typenblättern ersichtlich, liegen im Grenzfall zwei Eingangskennlinien mit verschiedener Charakteristik vor:

- Kollektorstrom als Funktion des Basisstromes
 I_C = f (I_B)
- Kollektorstrom als Funktion der Basis-Emitterspannung I_C = f (U_{BE})

Je nach dem Innenwiderstand der Steuerspannungsquelle wird der Transistor mehr entsprechend der einen oder anderen Kennlinie ausgesteuert. Infolge der entgegengesetzten Krümmung dieser Eingangskennlinien gibt es einen optimalen Innenwiderstand der Steuerspannungsquelle, bei dem die Verzerrungen durch die Nichtlinearität der wirksamen Kennlinie minimal sind. Bei mehrstufigen Verstärkern muß also dieser optimale Innenwiderstand als Ausgangswiderstand der Vorstufe eingestellt werden.

Für Gegentaktendstufen ergibt sich allgemein aus der Analyse der resultierenden Kennlinie die Forderung nach einer möglichst niederohmigen Ansteuerung, d.h. einem Betrieb gemäß der Kennlinie IC = f (UBE). Ferner muß die Einstellung des Kollektorruhestromes und die Symmetrie der Transistorpaare in ihren Kennlinien berücksichtigt werden. Die Einstellung des Arbeitspunktes für reinen B-Betrieb ergibt starke Verzerrungen infolge der Anlaufcharakteristik der IC. URE-Kennlinie. Man muß deshalb zu einer AB-Einstellung übergehen, damit die Krümmung im Anlauf der Kennlinie kompensiert wird und die resultierende Gegentakt-Kennlinie linear verläuft. Selbstverständlich kann diese Linearisierung auch durch eine Emittergegenkopplung erreicht werden, die auf jeden Fall dann notwendig ist, wenn man mit sehr kleinen Ruheströmen (z.B. im Batteriebetrieb) arbeiten will.

Im Eintakt A-Betrieb ist die Art der Ansteuerung, nämlich Spannungseinprägung oder Stromeinprägung, abhängig von dem eingestellten Kollektorruhestrom. Bei relativ kleinem Ruhestrom ist eine hochohmige Ansteuerung günstiger, während bei großem Kollektorruhestrom die niederohmige Spannungseinprägung weniger Verzerrungen bringt.

Wenn größere Leistungen zur Steuerung benötigt werden, also z.B. bei der Endstufe eines 10 Watt-Verstärkers, muß jedoch auch die Leistungsanpassung ($R_a=R_i$) zwischen Treiber- und Endstufe beachtet werden, um die notwendige Gesamtverstärkung zu erreichen und zusätzliche Verluste in den Kopplungsgliedern zu vermeiden. Es wird in der Regel nicht möglich sein, diese beiden Anpassungsforderungen gleichzeitig zu erfüllen. Als Kompromiß ist z.B. in den Schaltungen 1, 2, 3 und 4 ein Widerstand parallel zur Primärwicklung

des Treibertransformators eingeführt, da die Reserve in der Ausgangsleistung der Treiberstufe für eine günstigere Ansteuerung der Endstufe ausgenutzt werden kann.

Damit wird nicht nur die Ansteuerung der Endstufe niederohmiger; sondern es ergibt sich gleichzeitig für die Treiberstufe der Vorteil eines konstanteren Arbeitswiderstandes bei
verschieden großer Aussteuerung; denn der Eingangswiderstand von Transistoren großer Leistung wird bekanntlich mit
zunehmender Aussteuerung kleiner.

Ein weiterer wichtiger Punkt ist die thermische Stabilität. Bei der Temperaturabhängigkeit der Leitfähigkeit eines Halbleiterkristalles besteht die Möglichkeit, daß der Transistor bei unzureichender Wärmeableitung instabil wird, indem bei Temperaturerhöhung der Kollektorstrom ansteigt und der Kristall durch die erhöhte Verlustleistung weiter erwärmt wird. Reicht die Wärmeableitung nicht aus, so steigert sich dieser Prozeß bis zur Zerstörung des Transistors, weil unzulässig hohe Sperrschichttemperaturen erreicht werden. Der Aufbau der Transistoren wird deshalb zusammen mit ihrem Gehäuse so vorgenommen, daß ein möglichst kleiner Wärmewiderstand zwischen dem Kristall und der Umgebung solche Wärmestauungen verhindert.

In der Schaltanwendung stört jedoch schon die Wanderung des Arbeitspunktes mit der Temperatur. Die Stabilisierung des Arbeitspunktes kann auf verschiedene Weise erfolgen. Eine sehr wirksame Arbeitspunktstabilisierung wird erreicht, wenn der Basisspannungsteiler verhältnismäßig niederohmig ausgeführt und ein relativ großer Emitterwiderstand gewählt wird. (Siehe Beisp. 6 und 7). Der Emitterwiderstand wird meistens mit einem entsprechenden Elko überbrückt, um eine durch Gegenkopplung bedingte Verstärkungsminderung zu vermeiden.

Eine einfache und für viele Fälle ausreichende Stabilisierung (Vorstufen) erzielt man, wenn der Basisspannungsteiler an den Kollektor angeschlossen wird. (Siehe Beisp. 1 bis 5, 8, 10). Steigt hier bei Temperaturerhöhung der Kollektorstrom, so sinkt die Spannung am Kollektor und damit auch an der Basis. Die außerdem auftretende differentielle Spannungsgegenkopplung ist gering. Diese Methode eignet sich besonders für die Verstärkung kleiner Signale, weil eine gewisse Arbeitspunktverschiebung bestehen bleibt. Die Arbeitspunktwanderung

ist umso geringer, je größer das Verhältnis $I_{\rm C}/I_{\rm Co}$ gewählt werden kann.

Beiden Methoden ist gemeinsam, daß Streuungen der Transistoren weitgehend ausgeglichen werden.

Die verbleibende Arbeitspunktverschiebung kann zur Stabilisierung des nachfolgenden Transistors (z.B. Treiber) herangezogen werden, wobei dieser dann mit großen Signalen ausgesteuert werden kann. (Siehe Beisp. 2 und 3).

In den Endstufen höherer Leistung ist eine Stabilisierung auf diese Weise meist nicht mehr möglich, da im Emitterwiderstand zuviel Leistung verloren geht. Hier sind die Thernewid-Heißleiter mit Vorteil zu verwenden. Der Temperaturkoeffizient kann mit Hilfe von Serien- und Parallelwiderständen im Basisspannungsteiler für einen gewissen Temperaturbereich so eingestellt werden, daß der Temperaturgang des Transistorarbeitspunktes kompensiert wird.

Mit diesen Stabilisierungsmethoden ist in den vorliegenden NF-Verstärkerschaltungen ein einwandfreier Betrieb bis zu 60°C Umgebungstemperatur möglich.

Zu den einzelnen Schaltungsbeispielen seien noch folgende Hinweise gegeben. Mit Rücksicht auf lineare Verstärkung ist es von Vorteil, den notwendigen hohen Eingangswiderstand (100-200 k Ω) der ersten NF-Stufe mit Hilfe der Kollektorschaltung zu erreichen. Diese Stufe liefert so zwar keine höhere Verstärkung als die Emitterschaltung mit entsprechend hohem Vorwiderstand im Eingang, aber sie hat den Vorteil eines niedrigeren Ausgangswiderstandes.

Der niederohmige Ausgang verbessert außerdem die Rauscheigenschaften der Eingangsstufe.

Die Schaltungen 4 und 5 zeigen einen Verstärker mit einer Eintakt-Endstufe, deren Arbeitspunkt in Abhängigkeit von der NF-Aussteuerung gleitend geregelt wird. Auf diese Weise kann auch im Eintakt-Betrieb ein besserer Wirkungsgrad erzielt werden, sodaß die Verwendung in Batteriegeräten wirtschaftlich möglich ist. Bei Schaltung 5 erscheint die folgende Maßnahme bemerkenswert. Um dem Ausgang möglichst wenig Leistung für die Regelung zu entziehen, wird hier die vom Grad der Aussteuerung abhängige Vorspannung an die

Basis der Treiberstufe gelegt. Die direkte Kopplung zwischen Treiber- und Endstufe bewirkt dann auch gleichzeitig die Regelung der Endstufe.

Allgemein muß bei diesen Schaltungen die Zeitkonstante des Regelkreises optimal eingestellt werden.

Den Einsatz des Transistors für Verstärker mit hohen Anforderungen an die Qualität der Wiedergabe zeigt Schaltung 6 an dem Beispiel eines Schallplattenvorverstärkers. Der Frequenzgang entspricht der vorgeschriebenen Entzerrungskurve.

Im einzelnen werden folgende Werte erzielt:

Eingangsspannung bei 1 kHz	20 mV		
Ausgangsspannung	1,5 V		
max. Ausgangsspannung	5 V		
Klirrfaktor	< 0,8 %		
Störabstand	> 50 dB		

Schaltung 7 gibt ein Beispiel für einen kompletten Schallplattenverstärker mit hoher Wiedergabequalität. Die beigefügten Kurven zeigen die Frequenzcharakteristik und den Klirrfaktor, der auch bei 15 W Ausgangsleistung noch unter 1,5% liegt. Die gesamte Leistungsverstärkung beträgt ca. 100 dB.

Bei Vollaussteuerung des Verstärkers mit einem Kristalltonarm wurde ein Signal-Rauschverhältnis von 3000 gemessen. Auf den Eingangspegel bezogen ergibt sich also eine Rauschspannung von 10 μV .

Dieser Verstärker läßt sich auch zur Tonfilmabtastung verwenden. In diesem Fall kann eine Eingangsstufe mit Photodiode wie in Schaltung 3 gewählt werden.

Die Linearisierung des Eingangswiderstandes der Treiberstufe wird durch den niederohmigen Ausgang der Kollektorschaltung in der vierten Stufe erreicht.

Der Eingangsübertrager muß besonders streuarm ausgeführt werden; denn die Streuinduktivität bewirkt eine dem nichtlinearen Basisstrom proportionale, nicht sinusförmige Spannung, sodaß schon bei geringen Streuungen große Verzerrungen im Ausgangssignal entstehen.

Schaltung 9 bringt ein Beispiel für den gemischten Einsatz von Röhren und Transistoren. Besonders bei Autoempfängern, auf welche sich das Schaltbeispiel bezieht, hat sich die Verwendung von Transistoren in der NF-Endstufe bzw. in einem Gleichspannungswandler zur Spannungsversorgung der Röhren als vorteilhaft erwiesen. Bei dem dargestellten Beispiel ist ein 24 Volt-Akkumulator als Stromquelle für den Verstärker vorgesehen.

In der Treiberstufe wird die Röhre ECF 83 verwendet, die besonders für den Zweck der vorteilhaften Aussteuerung der Transistor-Endstufe entwickelt und den hierbei auftretenden Erfordernissen angepaßt ist.

Das Tonband-Diktiergerät nach Schaltung 10 eignet sich für Batteriebetrieb bei 6 Volt. Die Stromaufnahme beträgt bei Aufnahme ca. 100 mA und bei Wiedergabe ca. 6 mA. Mit einer Ausgangsleistung von 2,5 mW an dem Ohrhörer steht auch bei höherem Geräuschpegel genügend Lautstärke zur Verfügung. Der Frequenzbereich reicht je nach Bandgeschwindigkeit von 300 Hz bis 2,5 bzw. 4,5 kHz. Dabei erfolgt die Höhenentzerrung je nach Bandgeschwindigkeit über 0,75 μF und 3,5 mH bzw. 0,5 μF und 2 mH.

Der HF-Oszillator arbeitet im Eintaktbetrieb mit einer Frequenz von 25 kHz. Die störenden Oberwellen können dadurch unterdrückt werden, daß der Kollektorstrom mit Hilfe des Potentiometers R_2 eingeregelt wird.

Diese Beispiele zeigen, daß der Transistor in seiner Anwendung im NF-Verstärker heute bereits weitgehende Forderungen an die Wiedergabequalität erfüllen kann.

II. Gleichspannungswandler

Gleichspannungswandler mit Transistoren ermöglichen auf einfache Weise die Stromversorgung von elektronischen Geräten aus kleinen Batterien. Den Hauptbestandteil dieser Wandler bildet ein Zerhacker mit Transistoren als Schaltelemente; dieser wird als Eintaktzerhacker oder auch als Gegentaktzerhacker ausgeführt. Die Wahl zwischen der einen oder der anderen Schaltungsart wird im wesentlichen durch den Leistungsbedarf des jeweiligen Verbrauchers entschieden. Im folgenden seien die charakteristischen Anwendungsmöglichkeiten kurz umrissen. Auch über die Berechnung der Zerhackerschaltungen sei kurz einiges berichtet, da die rechnerischen Zusammenhänge bei dieser Anwendung vielleicht nicht so allgemein geläufig sind wie in anderen Fällen.

Der Eintaktzerhacker.

Der Eintaktzerhacker ist grundsätzlich ein Rechteckgenerator, dessen Tastverhältnis frei wählbar ist. Die Energieentnahme kann nun entweder während der Zeit tig erfolgen, in welcher der Transistor auf Durchlaß geschaltet ist, oder während der Zeit to, während der Transistor gesperrt bleibt. So sind zunächst zwei Betriebsarten möglich, die heute allgemein als Stromflußwandler und Sperrwandler unterschieden werden. Darüber hinaus kann auch in beiden Halbwellen Energie entnommen werden. Dann arbeitet man im Ausgangskreis mit einer Spannungsverdopplerschaltung mit zwei Dioden, die beide Halbwellen ausnutzt. Gegenüber dem Sperrwandler hat diese Schaltung jedoch keine besonderen Vorteile. Die Abhängigkeit der Ausgangsspannung von der Belastung ist in beiden Fällen nahezu gleich groß, sodaß sich der Aufwand eines zusätzlichen Gleichrichters gegenüber den anderen Schaltungen nicht lohnt. Andererseits kann man mit dem Sperrwandler ebenso leicht die hohen Spannungen erzielen, wie die Beispiele zeigen.

Der als Sperrwandler betriebene Eintaktzerhacker eignet sich vorwiegend zur Erzeugung hoher Ausgangsspannungen. Sein Prinzip ist die Energiespeicherung im Transformator. Der Transistor arbeitet dabei als automatischer, mit Hilfe einer Rückkopplung gesteuerter Schalter; während der TransistorDurchlaßzeit t₁ wird eine große Energie in der Induktivität des Transformators gespeichert, die dann während der Sperrzeit t₂ in einem hohen Spannungsimpuls an den Ausgangskreis abgegeben wird. Die Wahl eines hohen Tastverhältnisses führt dann zu einem sehr kleinen Übersetzungsverhältnis des Trafos.

Man wird diese Eintaktschaltung fast immer für höhere Frequenzen auslegen und für den Übertrager Ferrite hoher Permeabilität wählen, da in diesem Falle Übertrager mit sehr kleinen Abmessungen verwendet werden können. Die Ausgangsleistung ist selbstverständlich nur beschränkt. Maßgebend dafür ist der max. zulässige Kollektorspitzenstrom des Transistors. Da die Ausgangsleistung unmittelbar durch den max. Kollektorstrom und dem Tastverhältnis vorgegeben wird, ist die Ausgangsspannung gegenüber Belastungen sehr empfindlich.

Bei der Berechnung einer solchen Zerhackerschaltung wird in der Regel von der Batteriespannung $U_{\rm Batt}$, der gewünschten Ausgangsspannung $U_{\rm a}$ und dem Ausgangsstrom $I_{\rm a}$ ausgegangen. Der Kollektorspitzenstrom beträgt

$$\hat{I}_{C} = \frac{2U_{a}J_{a}}{\eta U_{Batt}} \cdot \frac{\tau}{\tau_{1}} \qquad \frac{\tau_{1}}{\tau} = \frac{\tau_{1}}{\tau_{1}+\tau_{2}} = \text{Tastverhältnis}$$
 (1)

Der Wirkungsgrad η über die gesamte Schaltung einschließlich Gleichrichtung liegt bei 70%. Bei kleineren Batteriespannungen, wie auch bei hohen Spannungsübersetzungen wird
der Wirkungsgrad kleiner. Das Tastverhältnis wird erfahrungsgemäß am günstigsten zwischen 1/2 und 9/10 festgelegt. Der Transistor muß so ausgewählt werden, daß der berechnete Kollektorspitzenstrom den zulässigen Wert nicht
überschreitet. Die notwendige Primärinduktivität ergibt sich
zu

Den geringsten Aufwand für den Trafo erhält man bei hohen Frequenzen f , dabei muß die Grenzfrequenz des Transistors beachtet werden. Die Primärwindungszahl errechnet sich nach folgender Formel:

Da ein hoher Wirkungsgrad nur erreicht werden kann, wenn die Induktion des Eisens unterhalb der Sättigung bleibt, soll die Induktion B den Sättigungswert nicht erreichen. Bei Ferriten liegt die Grenze bei ca. 2.300 Gauß. Der Eisenkern, d.h. der Kernquerschnitt q und der Induktivitätsfaktor A_L müssen so gewählt werden, daß die Beziehung erfüllt wird

$$A_L = \frac{L_1}{w_1^2}$$
 A_L Induktivitätsfaktor $\frac{nHy}{w^2}$ (4)

Ist der tatsächliche A_L -Wert des Kernes größer als der aus L_1 und w_1 berechnete, so wird die max. zulässige Induktion B_{max} . = 2.300 Gauß überschritten. Es ist dann ein Kern mit kleinerem A_L -Wert zu verwenden. Das notwendige Rückkopplungsverhältnis ergibt sich aus

$$\frac{w_1}{w_2} = \frac{U_1}{J_B R_B + U_{BE}} = \frac{U_1}{2 U_{BE}}$$
 (5)

Die Werte für den Basisstrom I_B und die Steuerspannung U_{BE} entnimmt man für den errechneten Kollektorspitzenstrom I_C aus dem Kennlinienfeld des Transistors, und zwar im Knick der Kennlinie. Der Basiswiderstand soll etwa so groß sein, daß $U_{BE} = I_B \cdot R_B$ gilt. Die Entwicklung hat gezeigt, daß es zweckmäßig ist, den Transistor im nichtschwingenden Zustand auf einen gewissen Kollektorruhestrom einzustellen, sodaß beim Einschalten der Anschwingvorgang eingeleitet wird. Dieser Kollektorstrom wird über einen Spannungsteiler in der Basis eingestellt, wie die Beispiele im einzelnen zeigen. Die sekundäre Windungszahl w3 läßt sich auf Grund der Größe des primären negativen Spannungsstoßes U_1 ' während der Zeit v_2 bestimmen. Es gilt Formel 6

$$\left|\frac{U_1}{U_1'}\right| = \frac{\tau_2}{\tau_1} \tag{6}$$

und damit für w3

$$\frac{w_3}{w_1} = \frac{U_a}{U_1} \frac{\tau_2}{\tau_1}$$
 (7)

Es muß darauf geachtet werden, daß die Summe U₁ + U_{Batt} höchstens gleich der max. Kollektorspitzenspannung des verwendeten Transistors sein darf.

Wie aus diesen Überlegungen hervorgeht, ist die Verwendung des Eintaktzerhackers als Sperrwandler nur dort angebracht, wo bei kleineren Ausgangsleistungen und konstanter Belastung verhältnismäßig hohe Ausgangsspannungen benötigt werden, z.B. für den Betrieb eines Geiger-Müller-Zählrohrs.

Demgegenüber liefert der Eintaktzerhacker als Stromflußwandler eine konstante Ausgangsspannung, die nur von der wirksamen Batteriespannung U₁ und dem Windungsverhältnis bestimmt wird. Auf diese Weise wird die Ausgangsspannung weitgehend unabhängig von Belastungsschwankungen.

$$\frac{\mathsf{w}_3}{\mathsf{w}_1} = \frac{\mathsf{U}_\mathsf{a}}{\mathsf{U}_1} \tag{8}$$

Beim Stromflußwandler muß beachtet werden, daß die Rückschlagsspannung während der Zeit tz (Sperrzeit des Transistors) für den verwendeten Transistor nicht zu hoch wird; denn dieser Spannungsimpuls wird jetzt nicht mehr durch die Energieentnahme gedämpft. Aus diesem Grunde sichert man den Transistor mit Hilfe einer Kapazität C parallel zur Sekundärwicklung des Übertragers. Diese Kapazität soll so groß bemessen werden, daß die Spannungsspitze am Kollektor des Transistors den max. zulässigen Wert nicht überschreitet. Wird der Wert der Kapazität zu groß gewählt, so nähert man sich dem Betrieb eines Sinus-Oszillators und der Wirkungsgrad nimmt ab.

Die Berechnung erfolgt wie beim Eintaktzerhacker als Sperrwandler. Das Tastverhältnis muß entsprechend dem Kollektorspitzenstrom gewählt werden. Der günstigste Wert liegt etwa bei 2/3.

Der Gegentaktzerhacker.

Die Arbeitsweise des Gegentaktzerhackers entspricht der des Eintaktzerhackers als Stromflußwandler. Man kann diesen Zerhacker als Gegentaktrechteckgenerator auffassen. Die elektrischen Werte des Übertragers und die erforderlichen Grenzwerte des Transistors ergeben sich ebenfalls aus der Batteriespannung UBatt, der gewünschten Ausgangsspannung Ua und dem Ausgangsstrom Ia. Der Kollektorspitzenstrom beträgt

$$\hat{l}_{C} \approx 12 \frac{J_{a} \cdot U_{a}}{\eta \cdot U_{Batt}}$$
 (9)

und die Primärinduktivität errechnet sich aus

$$L_1 = \frac{U_1}{4 \cdot \hat{\mathbf{l}}_C \cdot \mathbf{f}} \tag{10}$$

Die Transformatorgleichung hat hier die Form:

$$U = 4 \cdot B \cdot f \cdot q \cdot w \cdot 10^{-8} \tag{11}$$

Damit kann wie bei der Berechnung des Eintaktzerhackers bereits beschrieben, das richtige Verhältnis von w_1 , B und q bestimmt werden.

Für die Ermittlung des Rückkopplungs-Übersetzungsverhältnisses gilt wieder die Gleichung (5) und für das Primär -Sekundär-Übersetzungsverhältnis die Gleichung (8).

Die max. auftretende Kollektorspannung U_{CE} beträgt in den Spitzen, wie allgemein bei Gegentaktschaltungen, etwa 2 U_{Batt} . Selbstverständlich erfolgt die Gleichrichtung bei dieser Gegentaktschaltung über einen Zweiweggleichrichter oder auch Brückengleichrichter.

III. Sinus-Oszillatoren niederer Frequenz.

Die Berechnung dieser Schaltungen ist verhältnismäßig einfach; daher sollen hier nur einige Sonderanwendungen als Beispiele behandelt werden.

Der stabilisierte Oszillator für 1 kHz (Schaltung 22) kann z.B. als Steuerstufe für einen Pegelsender verwendet werden. Die Betriebsspannung des Oszillators wird durch Zenerdioden konstant gehalten. Der Transistor wird stets durchgesteuert, sodaß man eine konstante Amplitude erhält.

Die Schaltung 23 zeigt einen Gegentakt-Oszillator für 50 kHz, der besonders für die Vormagnetisierung von Magnet-Ton-köpfen geeignet ist. Bei dieser Anwendung wird durch die gewählte Frequenz von 50 kHz eine gute Tonaufzeichnung erreicht. Außerdem liefert die Gegentaktschaltung eine saubere Sinusspannung ohne einen merklichen Anteil störender Oberwellen.

Die Schaltungen 24 und 25 geben zwei Beispiele für die Anwendung von Leistungstransistoren zum Aufbau von Geräten zur Erzeugung sinusförmiger Spannungen. Diese Spannungen können z.B. zum Antrieb von Steuerungen verwendet werden.

In Schaltung 24 ist ein Oszillator für 400 Hz gezeigt. Die Amplitude des LC-Schwingungskreises ist weitgehend konstant; zu diesem Zwecke ist die stabilisierende Wirkung des Widerstandes im Basiskreis ausgenutzt. Der niedrige Ausgangswiderstand des Oszillators (Kollektorschaltung) bewirkt eine geringere Lastabhängigkeit der Ausgangsspannung.

Abb. 25 zeigt die Schaltung eines Drehstromgenerators mit Transistoren. Auch hier beträgt die Oszillatorfrequenz 400 Hz. Eine interessante Anwendung ist z.B. der Antrieb eines Steuermotors.

IV. Multivibratoren

Die hier zusammengefaßten Schaltungen können im wesentlichen als die Grundschaltungen für die Steuer- und Regeltechnik betrachtet werden, also für das weite Gebiet der Elektronik einschließlich der Anwendung in Rechenmaschinen. Da sich die Schaltungstechnik mit Transistoren kaum von der mit Röhren unterscheidet, soll hier nur ein kurzer Überblick gegeben werden.

Man muß auch hier wieder feststellen, daß der Transistor mit Vorteil einzusetzen ist, da es sich um eine Schalteranwendung handelt. Die Schaltung vom Widerstand Null auf den Widerstand unendlich und umgekehrt ist nämlich infolge der sehr kleinen Restspannung des Transistors ohne größere Verluste bei kleinen Batteriespannungen möglich. Dabei ist die Amplitude der Ausgangsspannung praktisch gleich der Batteriespannung.

Neben den vielen speziellen Multivibratorschaltungen, z.B. mit direkter Kopplung oder Verwendung komplementärer Transistoren und anderen Anordnungen, kann die astabile Kippschaltung als Grundform angesehen werden.

Für die Dimensionierung interessieren vor allem die nachfolgenden Punkte.

Die Frequenz wird im wesentlichen durch die Zeitkonstante der RC-Glieder in der Rückkopplung bestimmt, da während der Kondensatorentladung der Transistor gesperrt ist und den Entladungsvorgang nicht beeinflußt. Durch verschiedene Dimensionierung der Kapazitäten kann das Tastverhältnis etwa bis zu 1:10 variiert werden. Für extrem hohe Tastverhältnisse 1:100 bis 1:1000 müssen auch die Widerstände unsymmetrisch gewählt werden.

Die Grenzfrequenz des Transistors in Basisschaltung ist für die Flankensteilheit während des Anstieges der Rechteckimpulse maßgebend. Die Abfallflanke dagegen wird von der Zeitkonstanten des RC-Gliedes bestimmt. Diese Flankensteilheit kann allgemein durch Basisvorwiderstände verbessert werden.

In dem Beispiel der Schaltung Nr.29 ist eine andere Möglichkeit für die Verbesserung der Impulsform durchgeführt. Der Kondensator C_2 ist durch einen weiteren Transistor entkoppelt, so daß die Zeitkonstante nicht von dem zugehörigen Kollektorwiderstand bestimmt wird, sondern durch die dritte Transistorstufe. Es wird eine Flankensteilheit von etwa 3 µsec. erreicht.

V. Steuer- und Regelschaltungen.

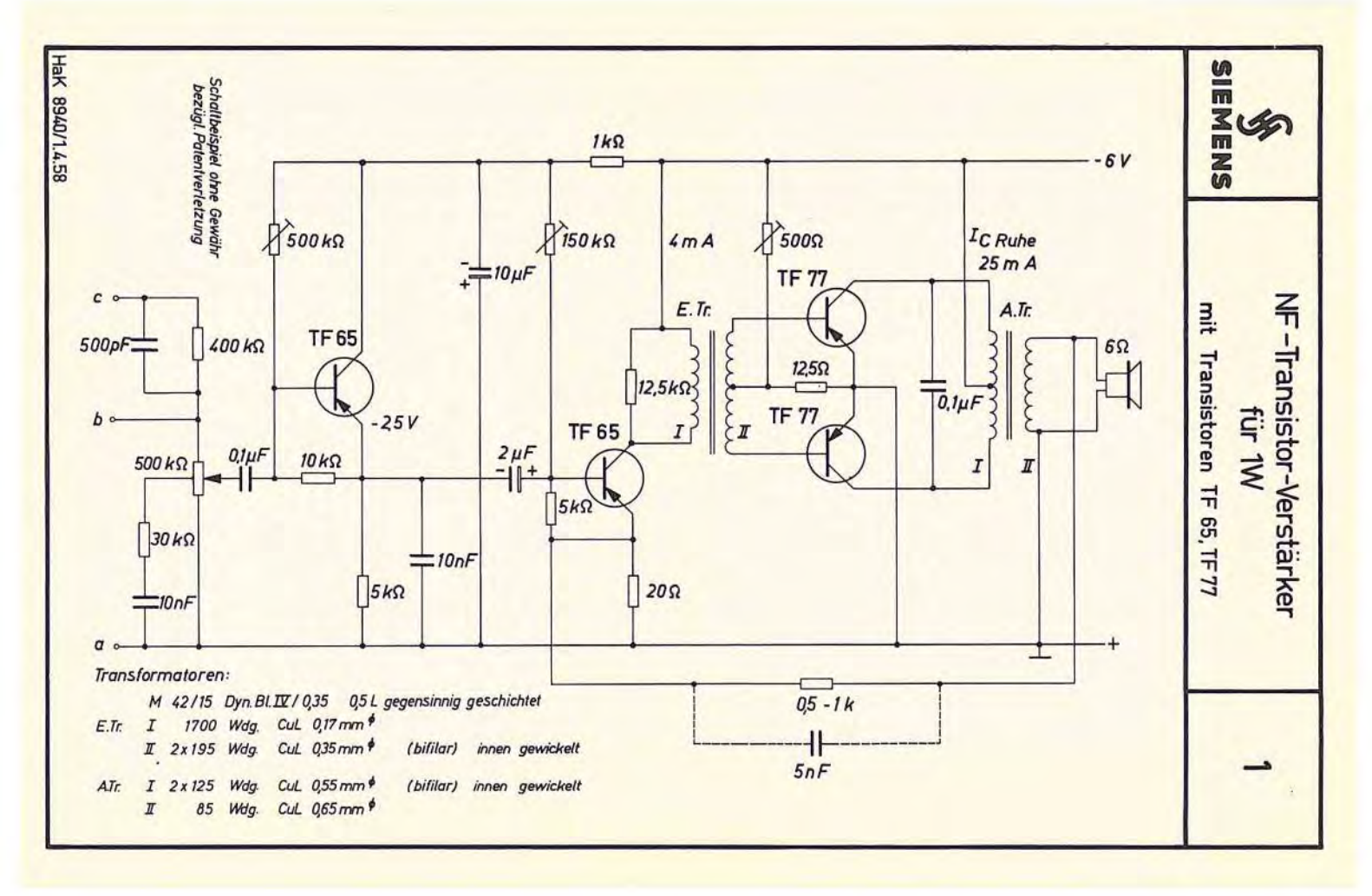
Diese Schaltungen haben so viele Anwendungen und zeigen eine derartige Vielfalt in der Aufgabenstellung, daß eine allgemeine Besprechung an dieser Stelle nicht möglich ist. Es seien erwähnt: Steuerungen magnetomechanischer Wandler, die beim Überschreiten eines bestimmten Eingangssignals betätigt werden; Regelschaltungen, die eine stufenweise oder stetige Regelung abhängig vom Eingangssignal bewirken; Meßwertverstärker, die zunächst nur eine bestimmte Größe zur Anzeige bringen und erst bei Überschreitung eines vorgeschriebenen Höchstwertes einen Steuervorgang auslösen.

Der Vorteil des Einsatzes von Transistoren für Schaltanwendungen wurde schon oben hervorgehoben. Die Bemessung der Steuer- und Regelschaltungen bietet grundsätzlich keine Schwierigkeiten.

Vielfach ist es möglich, das Eingangssignal in einer Brückenschaltung zu erfassen und in ein Wechselstromsignal zu überführen, sodaß statt des temperaturempfindlichen Gleichstromverstärkers ein Wechselstromverstärker benutzt werden kann. Um sehr hohe Empfindlichkeiten und Verstärkungen in einem größeren Temperaturbereich zu erhalten, sind gewisse Vorkehrungen in der Schaltung zu treffen. Eine Möglichkeit besteht darin, zu dem eigentlichen Signalverstärker einen völlig gleichen Verstärker parallel zu schalten und das Ausgangssignal als Differenz der Ausgangsspannungen der beiden Verstärker zu gewinnen. Äußere Einflüsse auf die Verstärkung werden so kompensiert.

Die nachfolgenden Schaltungen zeigen in den Beispielen 31, 32, 33 jeweils eine Relaissteuerung durch eine Photodiode TP 50. In den beiden ersten Schaltungen arbeitet die Photodiode als lichtempfindlicher Widerstand; Schaltung 33 ermöglicht den Betrieb der Photodiode entweder als Photowiderstand oder Photoelement.

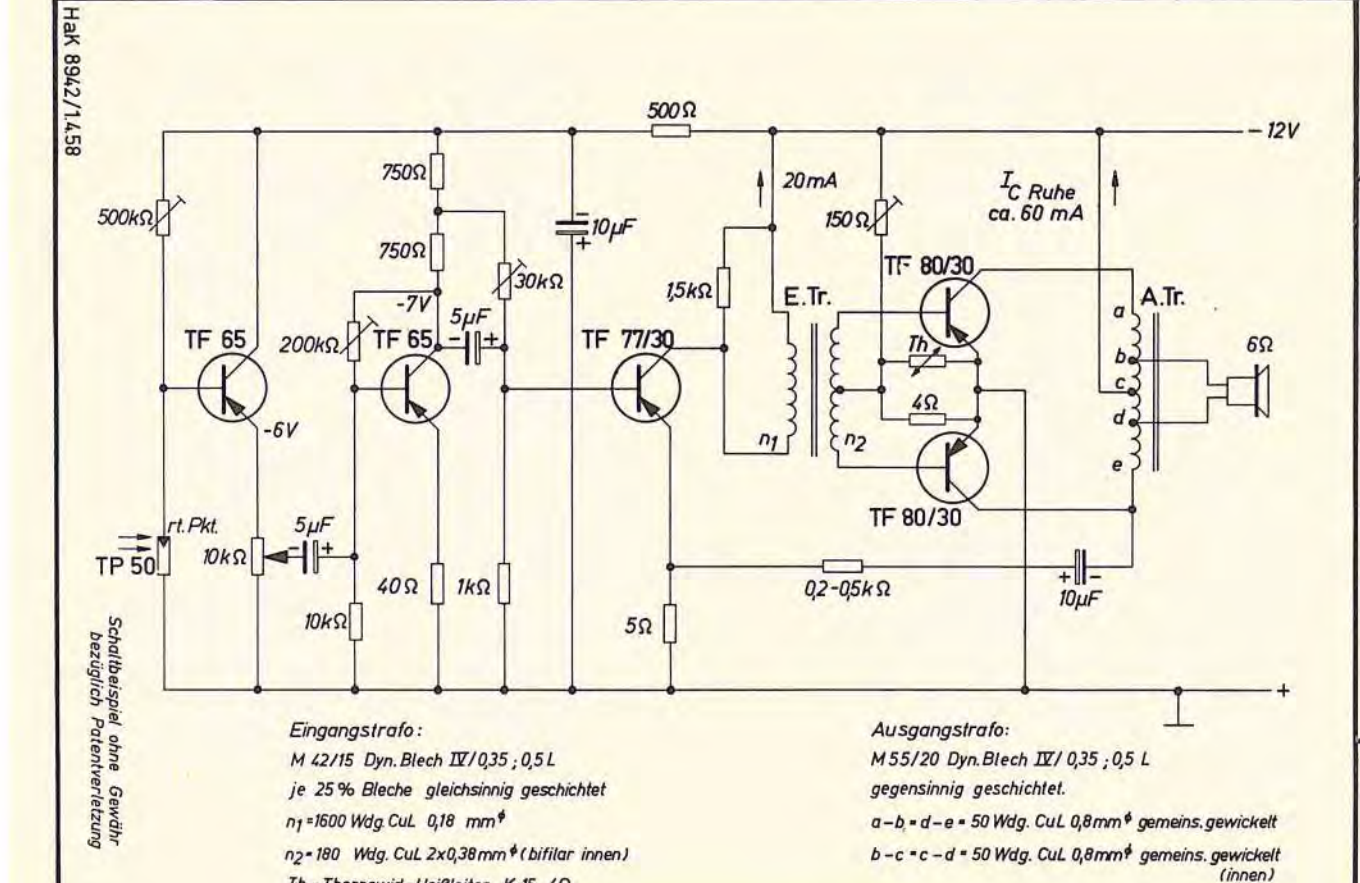
Bei dem Transistor-Relais nach Schaltung 35 wird durch eine Verstärkerschaltung mit Rückkopplung, die nach dem Prinzip des monostabilen Multivibrators arbeitet, eine sehr lange Abfallverzögerung von max. 400 Sekunden erreicht. Dabei ist ein augenblicklicher Abfall des Relais sicher gewährleistet.



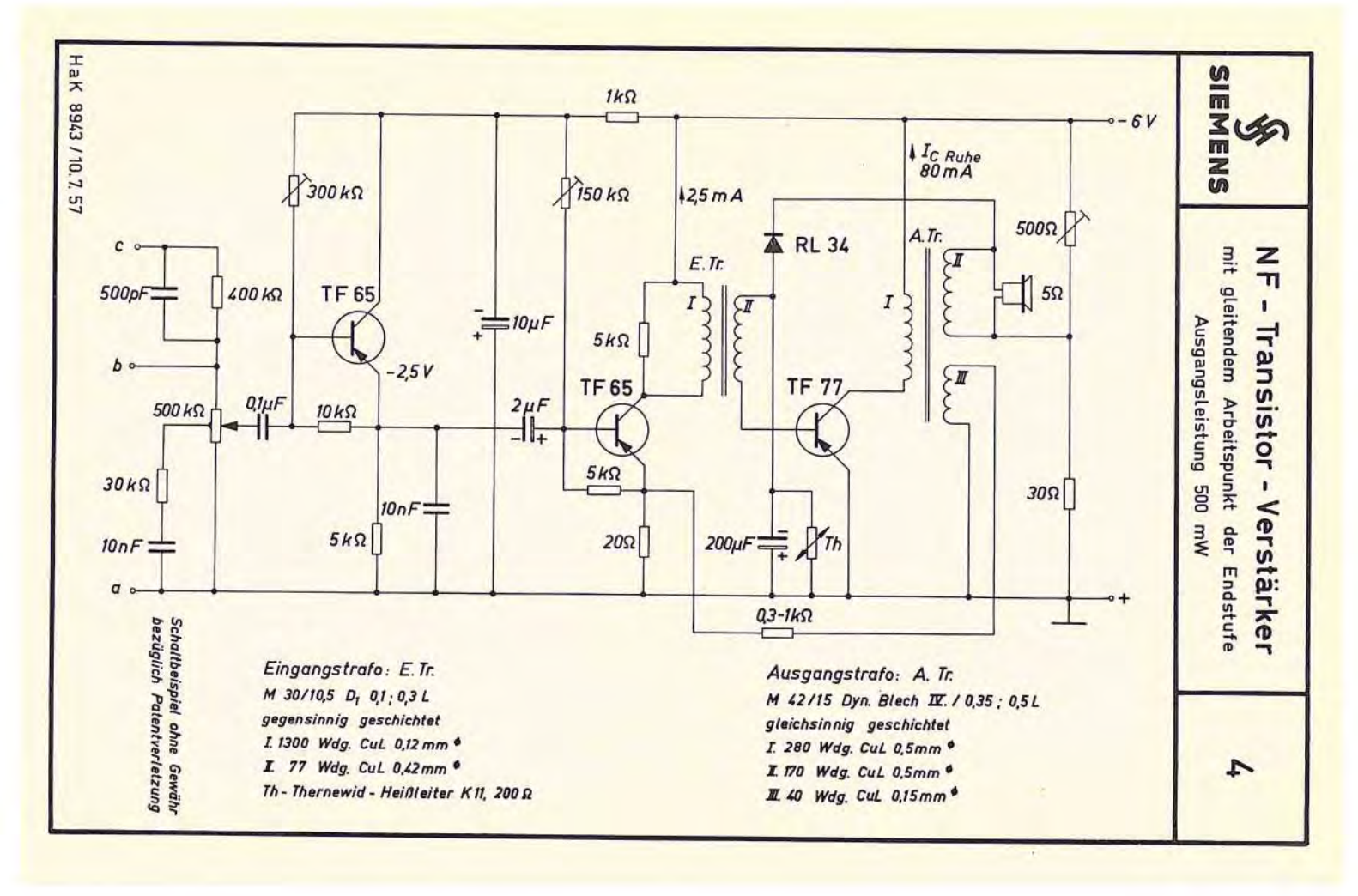
II.1x105 Wdg. Cul. 0,9mm\$

Th = Thernewid - Heißleiter K 15, 4Ω

w

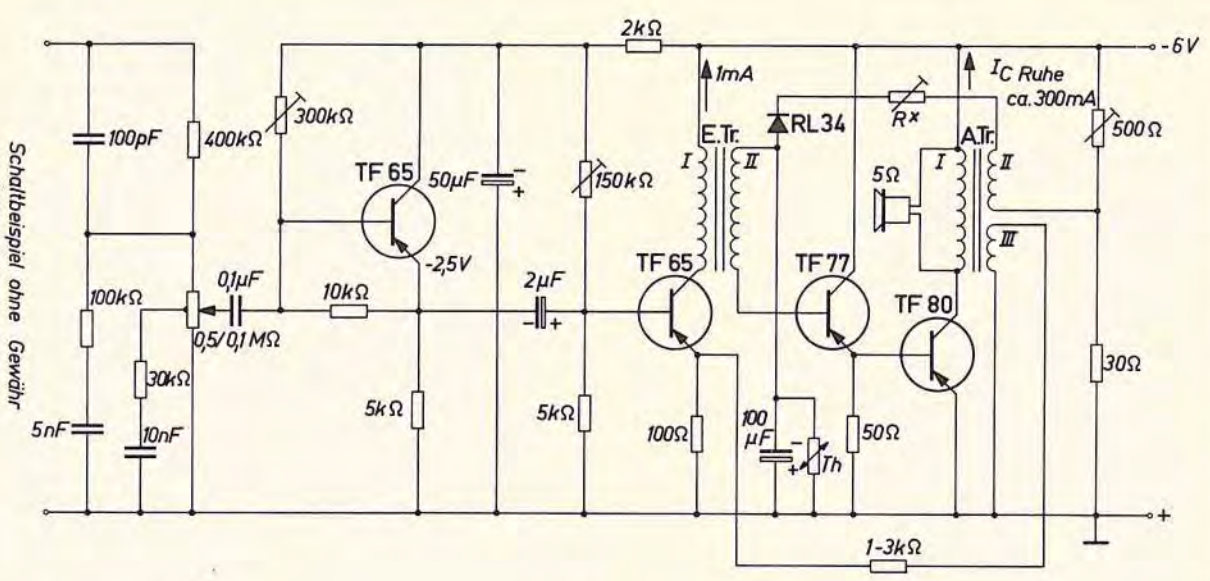


Th = Thernewid - Heißleiter K 15, 4Ω



bezüglich

Patentverletzung



Ausgangstrafo:

M 42/15 Dyn. Blech IV /0,35; 0,5L

gleichsinnig geschichtet

I.200Wdg CuL 0,76

II. 50 Wdg CuL 0,36

III. 40 Wdg CuL 0,3*

R× Richtwert 130Ω für I_{C max} = 0,75A bei Na = 3W

Eingangstrafo:

M 30/10,5 D1/0,1; 0,3L

gegensinnig geschichtet

I. 3000 Wdg CuL 0,08 \$

II. 300 Wdg CuL 0,18 \$

Th - Thernewid - Heißleiter K 11,800 Ω

Tumg bis 60°C

S

mit gleitendem Arbeitspunkt der Treiberund Endstufe; Ausgangsleistung

3W

NF-Transistor-Verstärker

SIEMENS

SIEMENS

Verstärker 20W; 30Hz - 20kHz; k < 1% (bis hoher Klanggüte



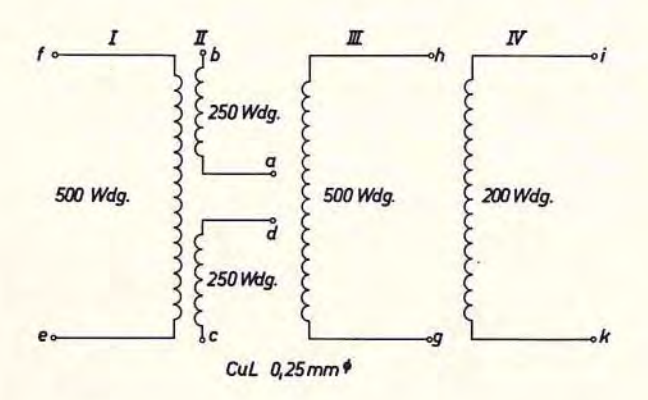
Verstärker hoher Klanggüte 20W;30Hz-20kHz;k<1%(bis 15W)

Batteriespannung: 24V

Übertrager Tr 1:

Kern: M 42/15 D 1 0,35 x 0,1 wechselsinnig geschichtet Wicklung nach Skizze:

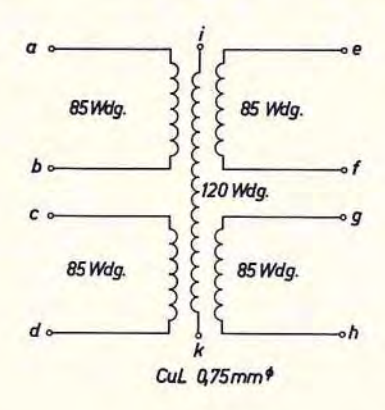
I, II, III gemeinsam (dreidrähtig) gewickelt, beginnend mit e, c und g. IV als Außenwicklung, beginnend mit k.



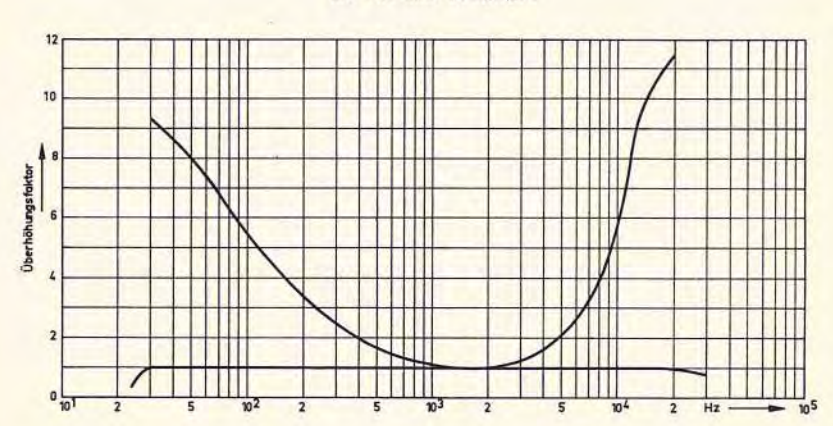
Übertrager Tr 2:

Kern: M 65/27 D 1 0,35 x 0,5 wechselsinnig geschichtet Wicklung nach Skizze:

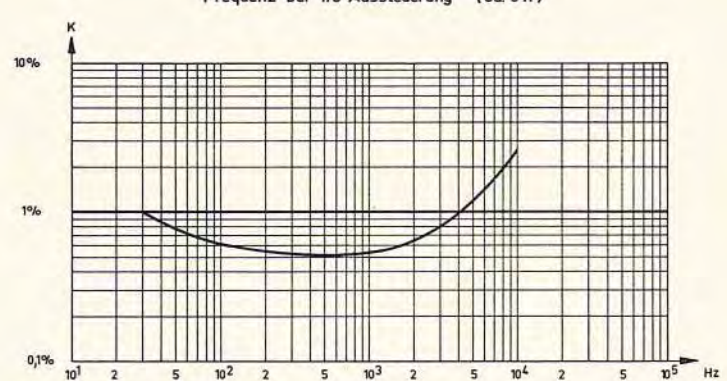
Gemeinsam (dreidrähtig) gewickelt, beginnend mit d, h, k.



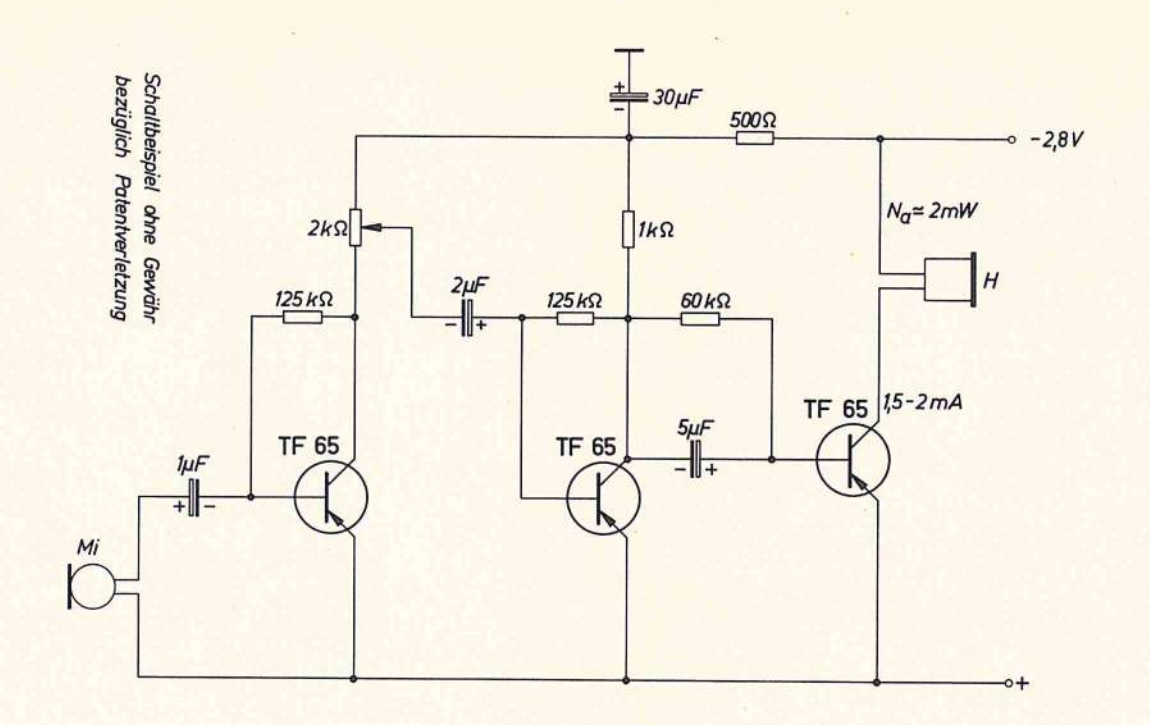
Frequenzgang mit und ohne Klangregler



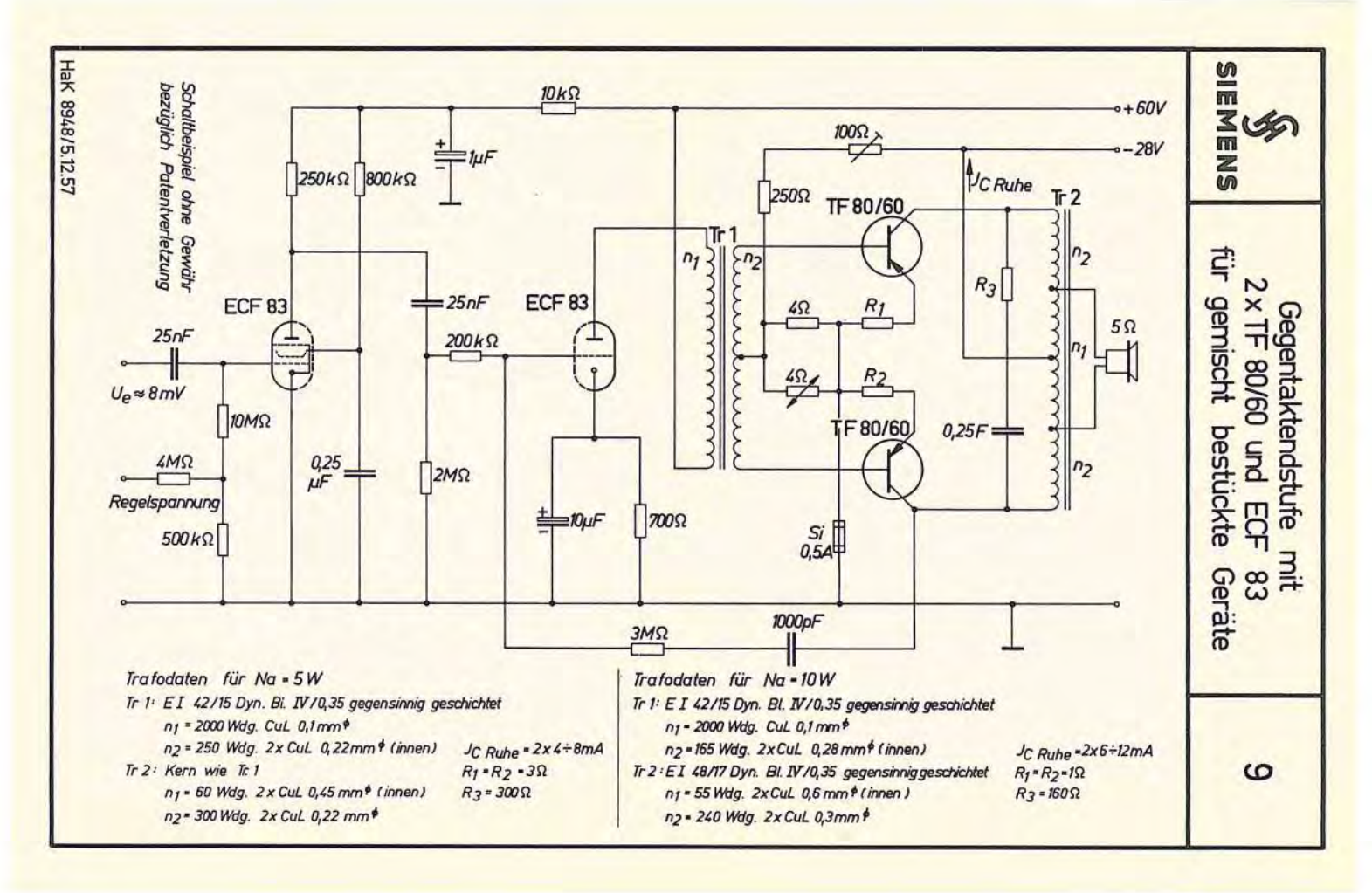
Klirrfaktor k in Abhängigkeit von der Frequenz bei 1/3 Aussteuerung (ca.6W)



Hörhilfe - Verstärker



Mi = Siemens Magnetmikrophon E. div. 47 c H = Siemens Magnethörer E. div. 16 e



Schaltbeispiel ohne Gewä bezüglich Patentverletzung

Tr1: M30/10,5 D1 0,1 0,3L

Schichtung je 1/4 gleichsinnig n1=1250 Wdg. CuL. 0,10 mm⁶ n2=1250 Wdg. CuL. 0,10 mm⁶ n3=2500 Wdg. CuL. 0,08 mm⁶ T: Siferrit-Schalenkern

Drg: Siferrit-Schalenkern Größe, Material wie Tr. 2 Tr 2: Siferrit - Schalenkern

B 6554(14x8) 1100 N 22AL 160

n1:13 Wdg. Cul. 0,20 mm \$

n2=6 Wdg. Cul. 0,12 mm \$

n3=50 Wdg. Cul. 0,15 mm \$

n4=150 Wdg. Cul. 0,15 mm \$

 R_1 = entsprechend $f_U(z.B.2k\Omega)$

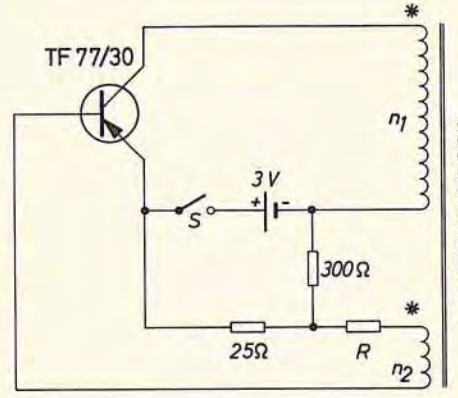
Entzerrung für Bandgeschwindigkeit	2,40	4,75	cm/s
C ₁	0,75	0,5	μF
Dr1	3,50	2	mH
n _{Dr1}	148	110	Wdg.
Draht ø	0,22	0,25	mm

SIEMENS Band

Tonband - Diktier - Gerät Frequenzbereich 0,3-2,5/4,5kHz Bandgeschwindigkeit 2,4 oder 4,75 cm/s

0

Schaltbeispiel ohne Gewäh bezügl. Patentverletzung



Siferrit-Schalenkern B 6558 (28x23) 1100 N22; AL 630

n1 = 1 x 40 Wdg. CuL 0,4 mm# ng = 1 x 25 Wdg. CuL 0,2 mm

n3 = 1x3500 Wdg. CuL 0,07 mm#

R: Richtwert 10Ω (0 ÷ 100Ω ; abhängig von Gleichstromverstärkung B)

Gr. Siemens - Stabgleichrichter E 500 C 1,5

Wirkungsgrad n ≈50%

Schwingfrequenz f≈3kHz

Ra 1000V

Stromaufnahme ca. 350 mA

* Punkte gleicher Polarität

Ausgangsspannung an $R_a=2M\Omega$; $U_{-}=1000V$ Betrieb nur mit Last zulässig (Ra=2MΩ)

Schaltbeispiel ohne Gewähr bezügl. Patentverletzung TF 77/30

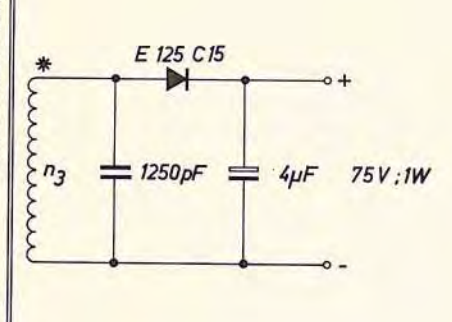
7 V

1μF 1κΩ

1μF 1κΩ

7 N

1μF 1κΩ



Siferrit-Schalenkern B 6556 1100 N22; AL 160

n₁=1x32 Wdg. CuL 0,35mm \$

n2=1x14 Wdg. CuL Q12mm*

n3=1x425Wdg. CuL 0,15 mm

 $R: Richtwert 50 \Omega (0 \div 500 \Omega; abhängig von$

Gleichstromverstärkung B und max. Last)

Wirkungsgrad η ≈70 %

Schwingfrequenz f≈18kHz

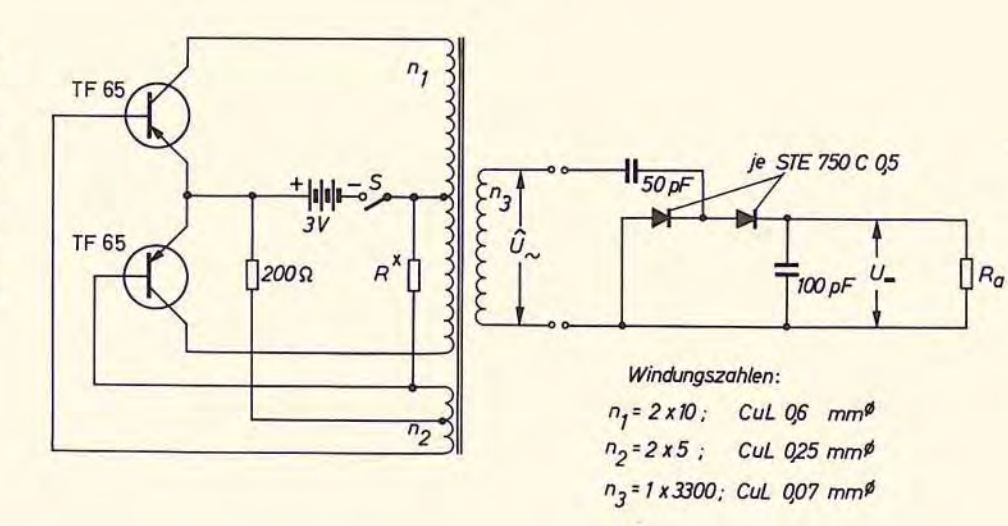
Stromaufnahme ≤ 270 mA

Ausg. Leerlaufspannung Uo≈110 V

*Punkte gleicher Polarität

2000V

Schaltbeispiel ohne Gewähr bezügl. Patentverletzung



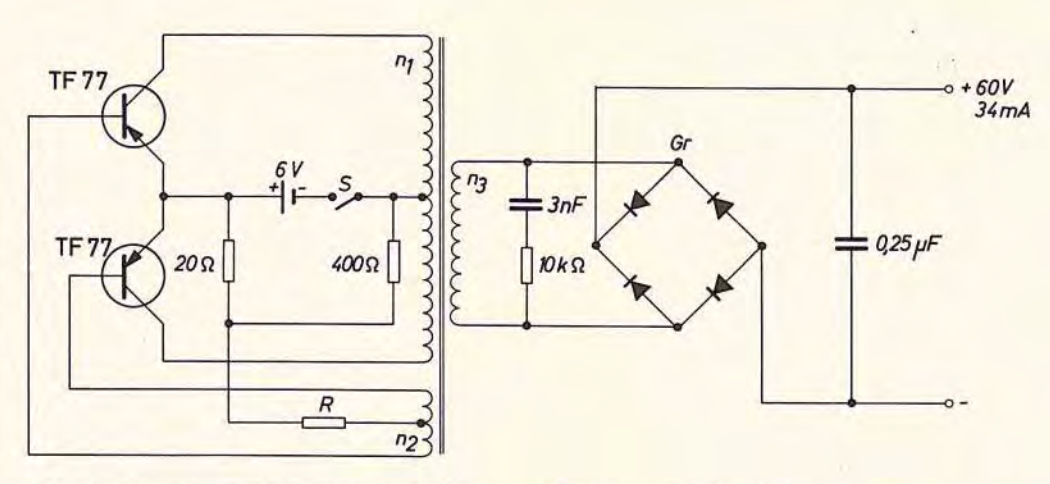
Siferrit - Schalenkern AL 3050/B 6558/1100 N22;

R * Richtwert: 5% 2kΩ

Û ca. 1000 V

U_ ca. 2000 V, bei Ra ca.80MΩ

Schaltbeispiel ohne Gewähr bezügl. Patentverletzung



Siferrit - Schalenkern B 6556 (18x14) 2000 Tr 26 a.L.

n₁=2x28 Wdg. CuL 0,38mm^g

n₂=2x8 Wdg. CuL 0,15mm^g

n₃=375 Wdg. CuL 0,09mm^g

R:Richtwert 10Ω(0÷100Ω;abhängig von Gleichstromverstärkung B und max.Last) Gr = Gleichrichter SSF B60 C170 Schwingfrequenz ca. 6 kHz

Stromaufnahme: max.0,5A

3W

Batteriespannung 7/14V Schwingfrequenz f \$17kHz Gegentaktschaltung mit 2x TF 77/30

14V TF 77/30 100 V 30mA 7/14 V TF 77/30 700Ω 14V 500Ω 1µF **n**5 R12 100Ω 15Ω n6

Schaltbeispiel ohne bezüglich Patentverletzung Gewähr

> Ir : Siferrit - Schalenkern B 6557 (23x17) 1100 N 22 AL 250 n1 = n4 = 18 Wdg. CuL 0,35 mm (bifilar gewickelt) n2=n2=16 Wdg. Cul. 0,2mm (bifilar gewickelt) n5=n6 = 7 Wdg.CuL 0,2mm (bifilar gewickelt) n7 = 270 Wdg. CuL 0,15 mm (für Ua = 100V)

Gr . Siemens-Flächengleichrichter SSF B 125 C 100 R₁ = abh.von Gleichstromverstärkung B u.max. Last Tchassis -- 10°C bis + 50°C

Schaltbeispiel ohne Gewähr bezügl. Patentverletzung

SIEMENS

TF 80 TF 80

Dr + 250 V 40 mA :10nF +0,25μF : Cs 15kΩ

Trafodaten:

Kern: M 55/20 Dyn. Blech IV/0,35 o. L.

n1 = 2 x 35 Wdg Cul 1,1 mm \$

n2 = 2 x 15 Wdg Cul 0,35mm\$

na = 1800 Wdg Cul 0,15mm

R₁≥100Ω (Spannungsteilerstrom!) R2: Richtwert 2Ω(0 ÷ 20Ω; abhängig von Gleichstromverstärkung B und max. Last) Gr: Gleichrichter SSF B 250 C 70

Schwingfreguenz: f≈ 130 Hz

Dr : Siebdrossel ca. 5 ÷ 10 H

Cs ca. 25µF

Stromaufnahme: max 2,5A

Schichtung wechselsinnig

-250 V 80mA

=0,25 μF

250 V

20W

TF 80/30 TF 80/30 40

Schaltbeispiel ohne Gewäh bezüglich Patentverletzung Gewähr

Trafodaten:

M 55/20, Dyn. Blech IV/0,35 o.L.

Schichtung wechselsinnig

n1 = 2x70 Wdg. Cul 0,85mm\$

n2 = 2x10 Wdg. Cul 0,4 mm\$

n3 = 1800 Wdg. Cul 0,16 mm \$ (Windungszahl / Volt = 6,5)

R₁≥ 200 Ω (Spannungsteilerstrom!)

R2: Richtwert 2Ω (0 ÷ 20Ω; abhängig von

Gleichstromverstärkung B und max. Last)

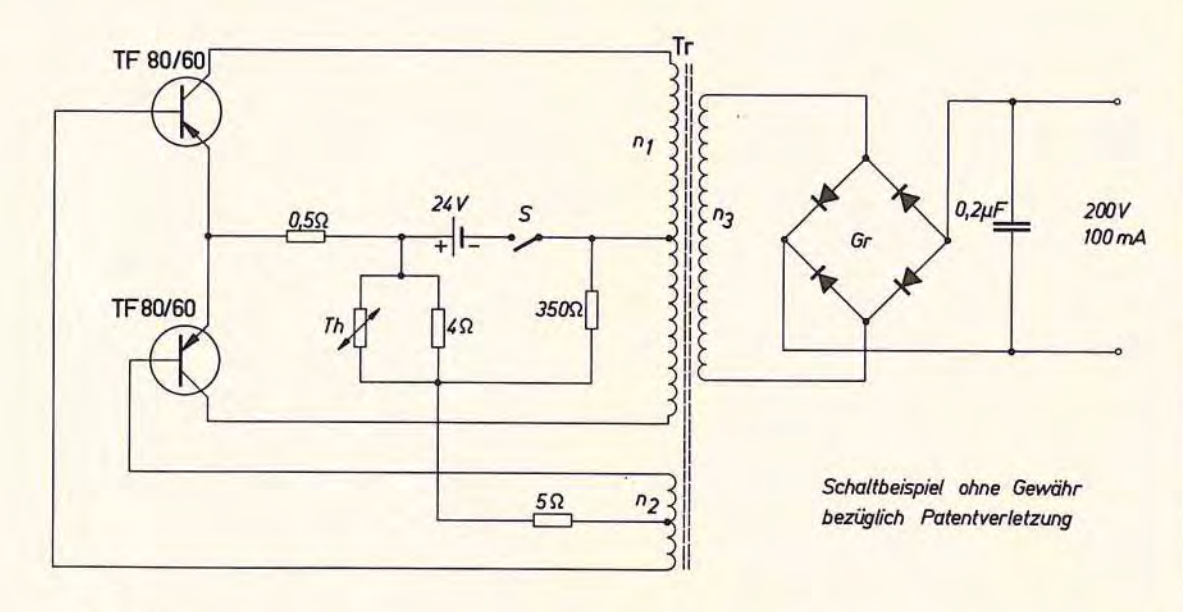
R2 = 10 KΩ

C1 =10 nF

Gr = Gleichrichter SSF B 250 C 100

Schwingfrequenz ≈ 130 Hz

Stromaufnahme: max 25 A



Trafodaten:

Tr: Siferrit Schalenkern B 6559 (34x28) 1100 N 22;AL 630

n1: 2x60 Wdg. CuL 0,5 mm \$

n2:2x7 Wdg. CuL 0,3 mm 4

ng: 560 Wdg. CuL 0,2mm *

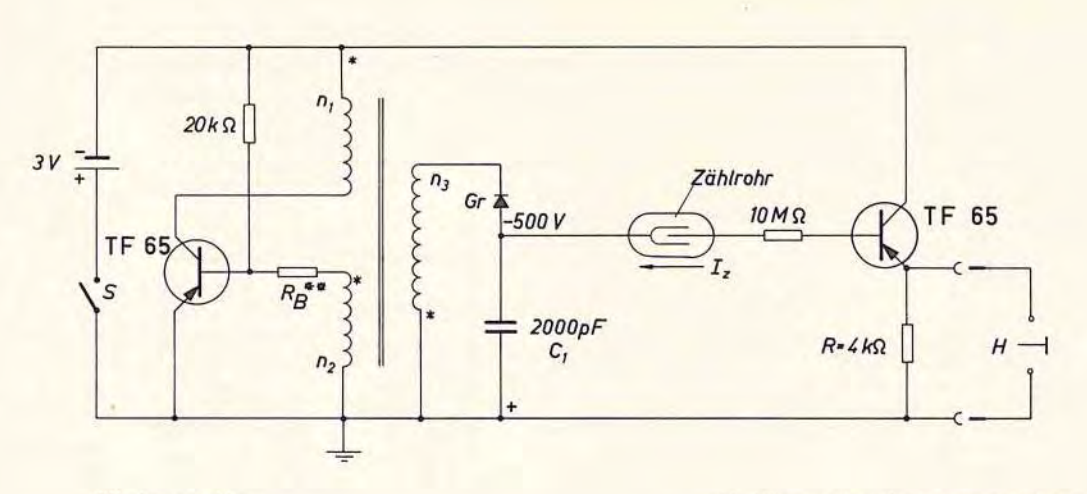
(Windungszahl / Volt = 2,8)

Gr. SSF B 250 C75

Th: Thernewid (Heißleiter) K 15, 4Ω

Schwingfrequenz ≈ 2,5KHz

Wirkungsgrad = 72 %



Windungszahlen:

n, = 170 CuL = 0,1 mm

n2 = 68 CuL = 0.07mm \$

n3 =3300 CuL = 0,05mm \$

Siferrit-Schalenkern B 6556/1100N22 o.L.

Gr. Siemens Stabgleichrichter E 500 C 2

Schwingfrequenz: f~1kHz RR Richtwert ca. 80Ω

H. Hörer oder Instrument 100 µA Ri = 2-1kΩ (R entfällt)

* Punkte gleicher Polarität

Schaltbeispiel ohne Gewähr bezüglich Patentverletzung bezüglich

Patentverletzung

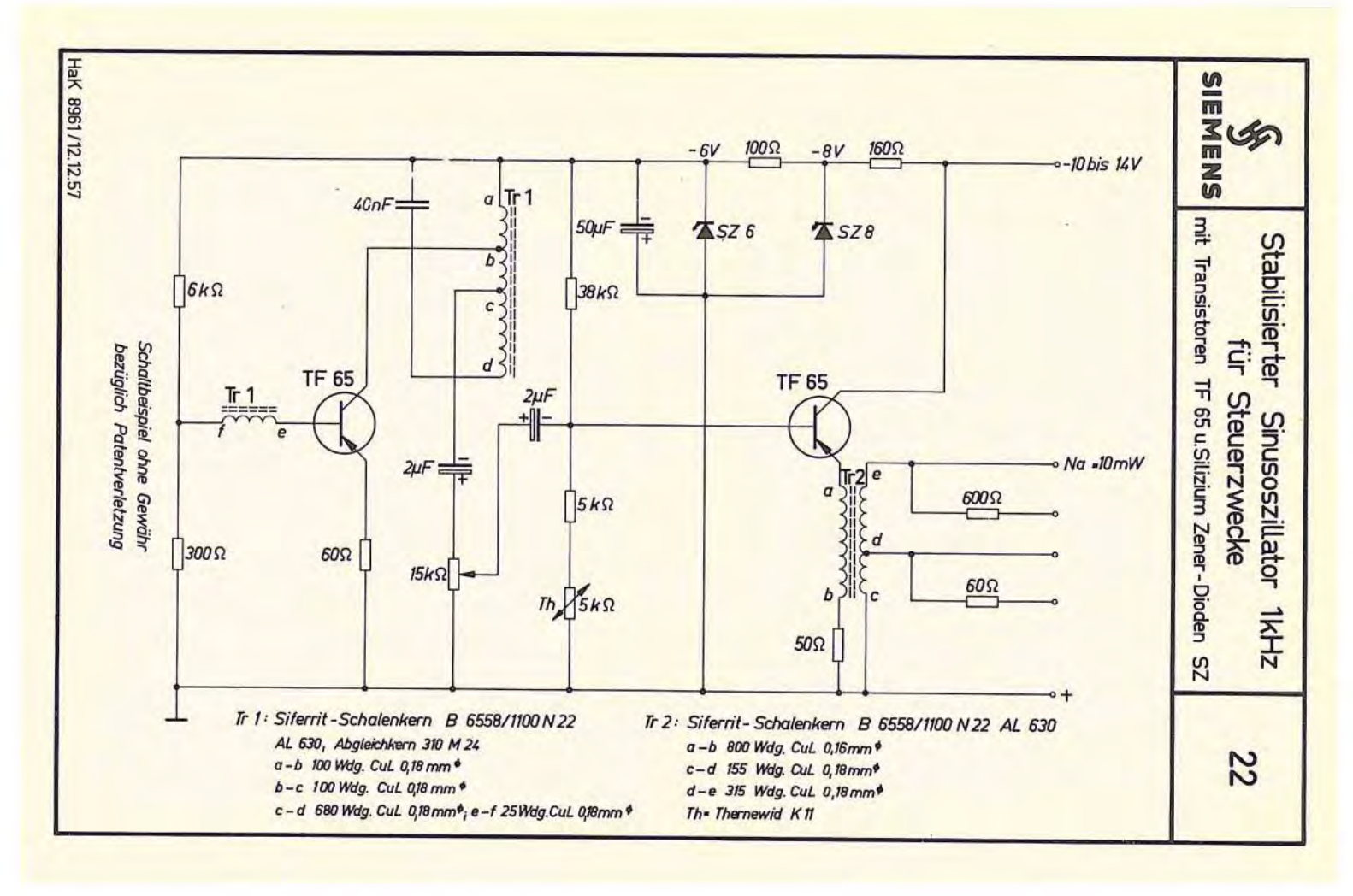
Tr 1µF Gr $3k\Omega$ TF 80 IMΩ 2MΩ n₃ Schallbeispiel ohne Gewähr BL9 Tr_2 6V **G**Gr 400μF = ± 0,1 µF TF 80 2MΩ 100 500 Ω n2 Glimmanzeige

> Transformator: Tr1 M42 Dyn. Blech IV 0,35 o.L. n1 = 2x35 Wdg CuL. 0,9mm 8 no = 2x15 Wdg Cul. 0,35mmg n3 = 1620 Wdg CuL. 0,12 mm

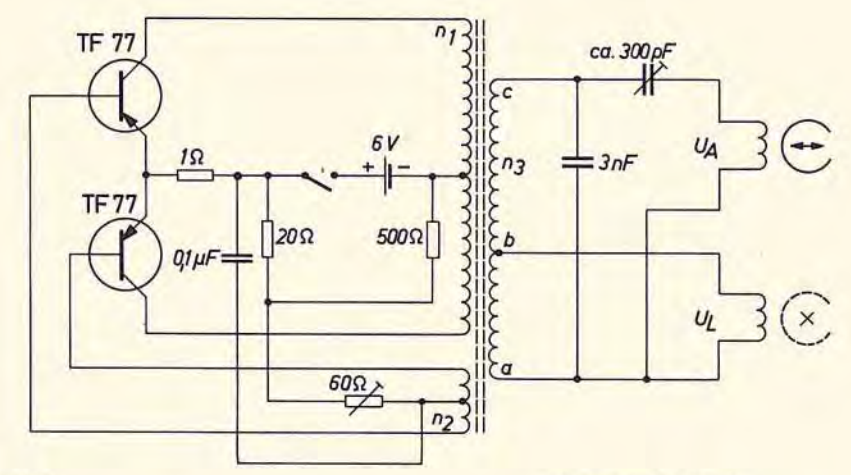
> > Schwingfrequenz: f = 250 Hz

Gr: Siemens Flachgleichrichter: SSF V 250 C 40

Transformator: Tra Siferrit - Rohrkern 6x3x30 | B6211 | 1500 N4 I. 35 Wdg CuL 0,4 mm II. 1000 Wdg CuL 0,07mm 8



Schaltbeispiel ohne Gewähr bezüglich Patentverletzung



Transformator:

Siferrit Schalenkern B 6554 (14 x 8) 550 M 25 AL 40

n1 = 2x9 Wdg CuL 0,35 mm \$

n2=2x5 Wdg. CuL 0,15 mm \$

n3ab=70 Wdg.CuL 0,1 mm \$

n3 bc = 210 Wdg. CuL 0,1mm \$

Löschkopf : L≈1,4mH UL = 30 V z.B. JL = 70mA Aufnahme und Wiedergabekopf L=0,3-0,5H UA = 120 V z.B.

JA = 1,6 mA

Ausgangsleistung kleinem 15W; Sinusgenerator Innenwiderstand Batteriespannung

400 Hz

24

bezüglich Patentverletzung Schaltbeispiel ohne Gewähr Tr 1 TF 80/60 2KD 0,5 µF= TF 77/60 TF 80/60 60Ω 2,5 K \Q 24 V Si

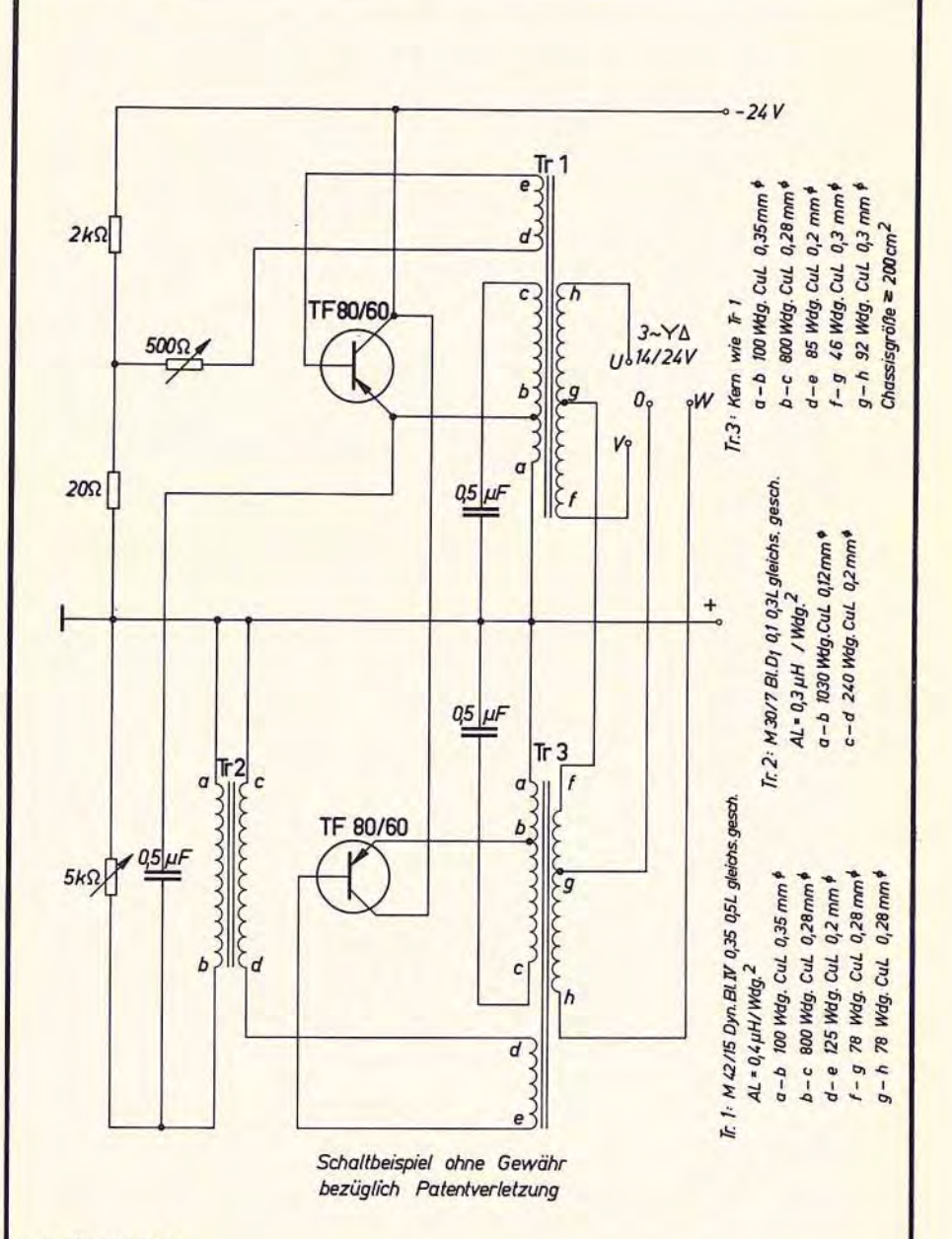
Tr 1: M 42, Dyn. Bl. IV/0,35 Q5L gleichsinnig geschichtet n1=550 +150 Wdg. CuL 0,30 mm \$ n2= 15 Wdg. Cul. 0,25 mm # n3=2x 150 Wdg. CuL 0,25 mm #

Tr 2: M 65 Dyn. Bl. IV/0,35 Q5L gegensinnig geschichtet n1=2x100 Wdg. CuL 0,75 mm \$ n2=1600 Wdg. Cul. 0,25 mm # nach je 400 Wdg. 1x Ölpapier



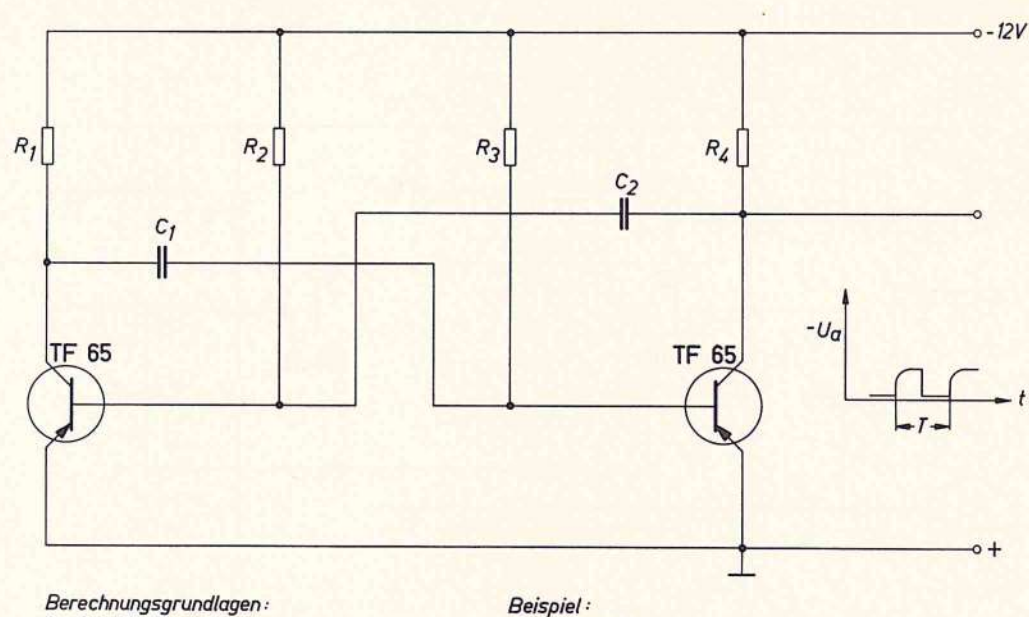
10W-Drehstrom-Generator

mit 2 Transistoren TF 80/60 3~YΔ 14/24V; 400 Hz 25



HaK 8964/14.3.58

Schaltbeispiel ohne Gewähr bezüglich Patentverletzung



Berechnungsgrundlagen: $C_1 = C_2 > 500 \, \text{pF}$ $R_1 = R_4 \ge \frac{UBatt}{1C \ max. zul.}$ $R_2 \le 0.8 \cdot R_1 \cdot B^{\times}$ $R_3 \le 0.8 \cdot R_4 \cdot B^{\times}$ $f = \frac{1}{1} = \frac{1}{0.7R_2 \cdot C_2 + 0.7R_3 \cdot C_1}$ ×Gleichstromverstärkung bei I_C max

 $R_1 = R_2 = R_3 = R_3$

 $C_1 = C_2 > 500 pF$ $R_1 = R_4 = 2.5 k\Omega$ $R_2 = R_3 = 50 k\Omega$ $f = \frac{1}{2} bestimmt C_1 und C_2$ max. Betriebstemperatur 65°C TF 65

 $R_2 = 15k\Omega$

TF 65

 $R_3 = 5k\Omega$

R4 = 400 \Omega

 $C_1 = 50 \, \mu F$

 $C_2 = 25 \mu F$

L=Glühlampe 4÷6V; Q1A

Frequenz ca. 2Hz

Lichtimpulsdauer : 0,1 sec.

Tumg bis 60°C

astabiler Kippschaltung

Blinklichtgerät

SIEMENS

Betrieb mit

++ 61

30

Schaltbeispiel ohne Gewähr bezüglich Patentverletzung

20kΩ TP 50 rt. Punkt 500Ω Rel. **TF 65** TF 77 ++ 6V 10kΩ 1kΩ

50 μA Photostrom bewirken sicheres Anziehen des Relais Relais Trls 151x TBv 65017 /71d mit Klebblech T_{Umg} bis 45°C

Photostrom Abfall eines Relais 50

TP 50 rt. Punkt Z Rel. bezüglich Patentverletzung Schaltbeispiel ohne **TF77** TF 65 =6V Gewähr R_2

Abfallempfindlichkeit: ca 50 µA

Tumg bis 45°C

Stromaufnahme:

Relais angezogen ca. 30 mA

Relais abgefallen ca. 2 mA

 $R_1 = R_2 = R_3 = 5k\Omega 1/20W$ Relais: Trls 151x TBv 65017/71 d mit Klebblech

bezüglich Patentverletzung Schaltbeispiel ohne Gewähr -12V Magnet-□ Kupplung (24Ω) R₅ Mrt. Punkt TP50 R₃ R₄ Ic = 500mA (II) **TF 80 TF77** Jst TF 65 TP 50 rt.Pkt R2 Ausführung I:R₁ entfällt; Steuerspannung≤ 150 m V $R_2 = 5k\Omega$ TP 50 als Photo-Element zwischen Tumg bis 60°C R3=10KQ Basis und Emitter R4 = 700 Ω R5 = 10 Ω Ausführung II: R₁ 100 bis 200 kΩ; Steuerstrom ca. 50 μA Tumg bis 55°C Gr = SSF E 15 C 250 TP 50 als Photowiderstand

bezüglich Patentverletzung

Schaltbeispiel

ohne

Gewähr

15kΩ

50Ω

Rel: Trls. 151x nach TBv 65021/71c
Arbeitskontakt gibt Ausschaltverzögerung
Ruhekontakt gibt Einschaltverzögerung
Verzögerung: I= 0,7·C(R₁+R₂)

50k Ω

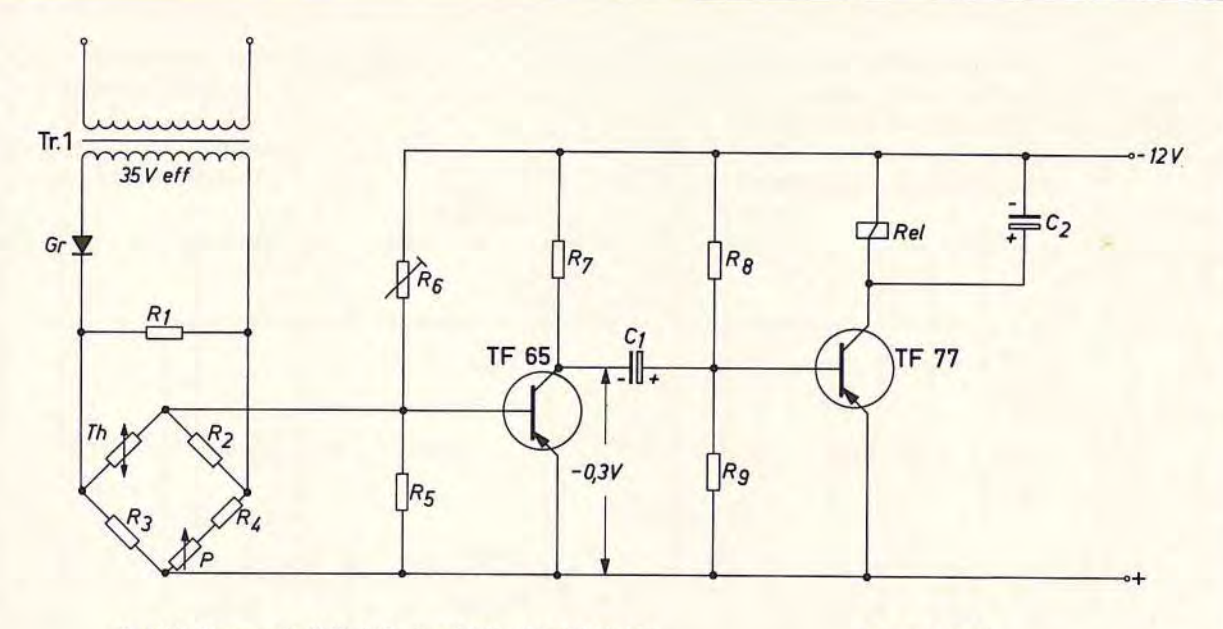
SIEMENS

-0-12+15 V

40Ω

Hochkonstante Verzögerung, regelbar von 10-400 s Schaltverzögerung Batteriespannung 12-15 V mit. Transistoren

34



Th: Meß - Thernewid K 13, 2kΩ bei 20°C TK = 4,6 %/°C

Rel: Trls 151x TBv 65017/71a,d, oder 75 d

Gr : SSF E 30 C 150

Tr1:M42

 $R_1 = 1k\Omega, 2W$

R2 = 1kΩ,1W

R3 = 4KQ,1W

R4 =1,5kΩ,1W

Tumg bis 60°C(Verstärker)

Schaltbeispiel ohne Gewähr bezüglich Patentverletzung R5 -1kΩ, 0,1W

 $R_6 = 30k\Omega (Pot)$

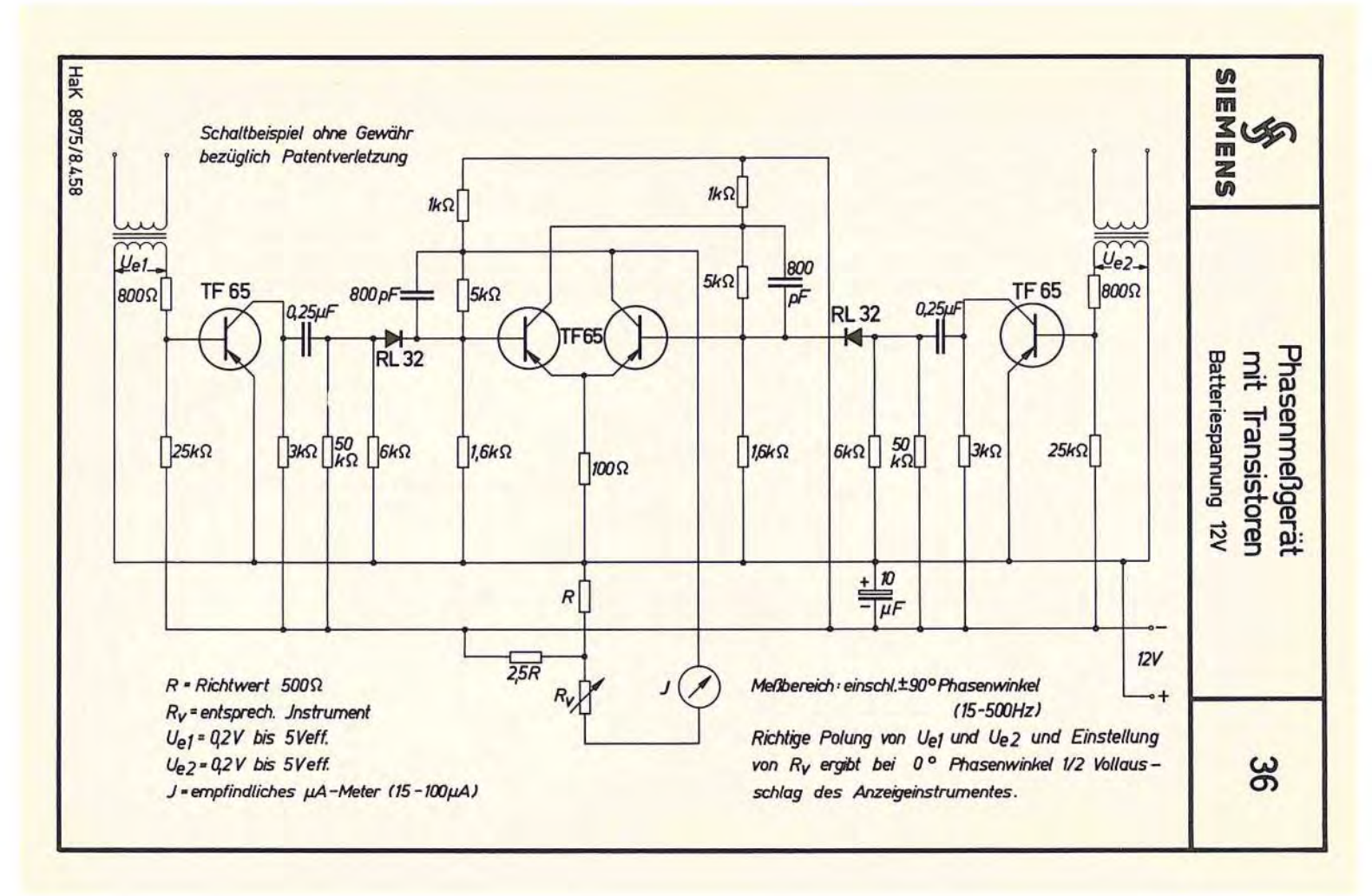
 $R_7 = 2k\Omega, 02W$

 $R_8 = 50k\Omega_10,1W$

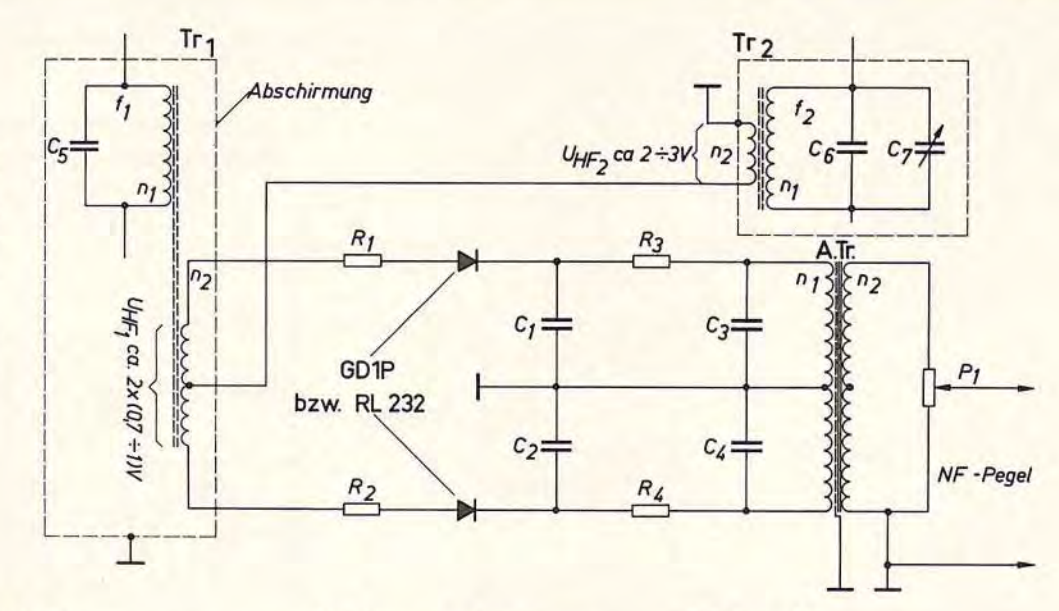
 $Rg = 1.25 k\Omega , 0,1 W$

 $C_1 = 25\mu F 12/15V$ $C_2 = 100\mu F 12/15V$

P = 15 kΩ



Schaltbeispiel ohne Gewähr bezüglich Patentverletzung



HF - Trafo : Tr

Siferrit Schalenkern, B 6557 (23x17)
Material 550 M 25 AL 60
n1 = 31 Wdg. HF-Litze (3x30x0,05)
n2= 2x2 Wdg. CuLS 0,4 mm* verdrillt
HF-Trafo: Tr 2

Kern und Material wie oben nj = 31 Wdg. HF-Litze (3x30x0,05) n2 = 4 Wdg. CuLS 0,4 mm* GD1P: Germanium Richtleiterpaar $R_1 = R_2 = 250 \,\Omega$ $C_7 = 900 \, pF$ $R_3 = R_4 = 10 \, k \,\Omega$ $C_1 = C_2 = 500 \, pF$ $C_3 = C_4 = 250 \, pF$ $C_5 = C_6 = 5 \, nF$ $P_1 = 50 \, k \, \Omega$

*Beide Wicklungen n₂ am Schalenkern außen gewickelt (geringe Kopplung) NF - Trafo: A.Tr.

M 42/15 D1 0,1 Q3L
gegensinnig geschichtet

n₁ = 2x 2000 Wdg. CuL 0,08 mm *
n2 = 2x 2000 Wdg. CuL 0,08 mm *
Generatorfrequenz z.B. f₁ = 320 kHz
Generatorfrequenz z.B. f₂ = 320 ÷ 300 kHz
NF-Pegel: Spannung ≈ IV (k < 1%)
Frequenz: 20 Hz ÷ 20 kHz

Siemens - Germanium - Transistoren (legierte pnp Typen)

Тур	Kollektor- Spitzenstrom I _{Csp} mA	Kollektor- Spitzenspannung UCEsp V	Wärmewiderstand bei Chassis- Montage °C/W
TF 65	15	16	0.5 *
TF 65/30	15	32	0.5 *
TF 77	600	16	13
TF 77/30	600	32 16	13
TF 78			
TF 78/30	600	32	13
TF 80	2500	16	4
TF 80/30	2500	32	4
TF 80/60	2500	64	4

^{*} Angabe in OC/mW; gültig für Betrieb in ruhender Luft.

Die zulässige Sperrschichttemperatur ist bei allen Typen 75°C

Da die elektrische Isolierung innerhalb des Transistors liegt, ist ihr Wärmewiderstand in dem angegebenen Wert mit inbegriffen. Damit entfällt jede zusätzliche Isolierung bei Einbau dieser Transistoren und man verfügt über eine konstant vorgegebene Wärmeableitung.

Für den Einsatz in Gegentaktschaltungen können alle Leistungstransistoren gepaart geliefert werden.

Die Transistoren TF 78 und TF 78/30 sind besonders zum Einlöten in gedruckte Schaltungen geeignet. Der Abstand ihrer Anschlüsse entspricht der internationalen Norm für Rasterabstände in gedruckten Schaltungen.

Anschriften unserer Geschäftsstellen

Ort Bi	üro*	Straße	Fernsprecher	Fernschreiber
Aachen	ТВ	Theaterstr. 106	3 98 41	08 32866
Arnsberg	IB	Hellefelder Str. 29	20 56	08 4286
Aschaffenburg	IB	Ludwigstr. 17	23 14	04 18839
Augsburg Berlin	TB ZN	Fuggerstr. 9	51 76, 9 48 81	05 3821
Bielefeld	TB	Schöneberger Str. 2—4 Kavalleriestr. 26	66 00 11	01 83766
Bonn	TB	Mülheimer Platz 1	6 36 11 5 19 21	09 32805 08 86655
Braunschweig	TB	Bankplatz 8	2 04 41	09 52820
Bremen	ZN	An der Weide 14—16	30 14 41	02 44814
Bremerhaven	IB	Brommystr. 20	23 32/33	
Coburg	IB	Judengasse 41	37 44	06 63212
Darmstadt	IB	Hügelstr. 18—20	35 79, 60 48	04 19246
Dortmund	ZN	Märkische Str. 12—14	2 26 41	08 22122
Düsseldorf Duisburg	IB	Oststr. 34 Friedenstr. 85	86 31	08 582665, 08 5828
Essen	ZN	Kruppstr. 16	2 80 01 2 07 31	08 55843
Flensburg	IB	Neustadt 10	74.49	08 57437 02 2745
Frankfurt (Main)	ZN	Gutleutstr. 31	33 06 01	04 11203, 04 11204
Freiburg i. Br.	TB	Habsburgerstr. 132	21 21	07 7842
Fulda	IB	Ohmstr. 24	30 10	
Göttingen	IB	Weender Landstr. 6—10	2 49 24	09 6861
Goslar	TB	Am Markt 5	39 31/33	09 53832
Gummersbach/	- 2	The second secon	No. 10 Personal Property of the Control of the Cont	
Niederseßmar	IB	Kölner Str. 95	30 42	
Hagen (Westf.)	IB	Prentzelstr. 11	2 74 45	
Hamburg Hamm	ZN IB	Lindenplatz 2	24 82 11	02 11891
Hannover	ZN	Luisenstr. 5 Am Maschpark 1	68 41 8 65 31, 8 66 91	08 28834
Heilbronn (Neckar)	IB	Schaeuffelenstr. 15	67 46/48	09 22333 07 28714
Hof	IB	Theresienstr. 13	22 66/67	06 43865
Kaiserslautern	TB	Eisenbahnstr. 18	75 31	04 5832
Karlsruhe	TB	Bahnhofstr. 3—7	2 69 61	07 82831
Kassel	TB	Bürgermeister-Brunner-Str. 15	1.92.81	09 9839
Kempten (Allgäu)	IB	Salzstr. 27	36 22	05 4827
Kiel	TB	Holstenbrücke 26	4 46 71, 4 08 01	02 9814
Koblenz	TB	Emil-Schüller-Str. 20 — 22	24 86	08 6831 -
Köln Konstanz	ZN IB	Friesenplatz 8—14	29 91	08 881470, 08 88147
Lübeck	IB	Hussenstr. 6 Breite Str. 52—54	36 93, 50 57	07 32209
Mainz	TB	Große Bleiche 29	2 59 21 2 67 71/72	02 6728
Mannheim	ZN	N 7. 18	5 80 31	04 17765 04 62261
Mönchen-Gladbach		Eickener Str. 45	2 18 75, 2 26 26	U4 62261
Mühldorf/Obb.	IB	Trausnitzstr. 11	8 36	
München	ZN	Prannerstr. 8	2 89 61	05 23224
Münster	TB	Herwarthstr. 6—8	4 06 31	08 92828
Neustadt/Weinstr.	IB	Landauer Str. 55	26 90 / 94, 34 35	
Nürnberg	ZN	Richard-Wagner-Platz 1	2 87 21	06 2120
Offenburg (Baden)	IB	Rheinstr. 3	23 13	07 5886
Osnabrück	TB IB	Möserstr. 28	76 01	09 4827
Ravensburg Regensburg	IB	Gartenstr, 16 Maximilianstr, 24	24 34, 29 82/83	07-32884
Reutlingen	IB	Unter den Linden 47	2 38 23	06 5807
Rottweil	IB	Am Stadtgraben 12	43 41 / 43, 67 82 8 06/07	07 29723
Saarbrücken 3	ZN	Mainzer Str. 139	6 49 41	07 62889 04 4226
Salzgitter-Watensted		Hauptstr. 66	5 22 75	09 52730
	3		Salzgitter-Immend	
Schweinfurt	IB	Luitpoldstr. 6	27 53	06 73207
Siegen	TB	Sandstr. 38	2 67 41	08 7635
Stuffgart	ZN	GeschwScholl-Str. 24—26	9 90 61	07 23941
rier	IB	Deutschherrenstr. 38—44	32 57, 37 33, 27 57	04 7815
Jlm Maria	TB	Frauenstr. 9	6 85 71	07 12826
Vetzlar Vicebaden	TB	Karl-Kellner-Ring 25	34 51	04 83845
Viesbaden Vilhelmshaven	IB IB	Adolfsallee 27—29	5 95 25	T.
Vuppertal-Elberf.	TB	Paul-Hug-Str. 8 Neumarktstr. 52	59 48, 54 57, 54 54	02 5305
Vürzburg	TB	Theaterstr. 25	4 18 81	08 512853
, u.zouig	10	mediciali, 20	5 08 50	06 8844

*ZN Zweigniederlassung

TB Technisches Büro

IB Ingenieurbüro

SIEMENS